

UNIVERSIDADE ESTADUAL DE CAMPINAS
FACULDADE DE ENGENHARIA ELÉTRICA
DEPARTAMENTO DE SISTEMAS E CONTROLE DE ENERGIA

ANÁLISE DAS PROPRIEDADES DAS TENSÕES DE VIBRAÇÃO
NO SISTEMA DE ENERGIA DA UNEC - UNIVERSIDADE
ESTADUAL DE CAMPINAS - E A POSSIBILIDADE DE
REDUZIR AS TENSÕES DE VIBRAÇÃO.

EQUivalente ESTÁTICO REDUZIDO

UMA REVISÃO CRÍTICA DO MODELO WARD ESTENDIDO

AUTOR:

Paulo Cezar Coelho Tavares

ORIENTADOR:

Sigmar M. Deckmann

Tese apresentada à Faculdade de Engenharia Elétrica da Universidade Estadual de Campinas como parte dos requisitos para a obtenção do título de Mestre em Engenharia Elétrica

Setembro 1987

AO PROFESSOR MÁRIO G. TAVARES (MEU PAI)

AGRADECIMENTOS

Inicialmente gostaríamos de agradecer ao Profº Sigmar Deckmann pelo incentivo, pela orientação e pela paciência demonstrada ao longo de todo o trabalho.

Sentimo-nos em débito: com a CHESF pelo apoio financeiro; com os engenheiros Saúlo Cisneiros, Leonardo Lins e Álvaro Ramos que ajudaram a viabilizar, de modo pioneiro para a época (1981), o nosso treinamento na UNICAMP.

Sem a ajuda de alguns colegas este trabalho não teria se materializado; a Profª Ana C. Lyra pelo apoio durante nossa estada na UNICAMP; a colega Vera Lúcia e o Profº Hector Arango devo parte dos créditos pelo desenvolvimento das rotinas de esparsidade, que tão bons serviços prestaram no decorrer desta pesquisa; ao colega Humberto Doria pelo apoio na modificação e utilização da rotina ASSEMBLER para medição dos tempos de execução entre trechos de programas; aos colegas Técnicos Jailton F. Lima e Adilson Campêlo que digitaram, formataram e emitiram, em micro computador, este trabalho; à desenhista Sheila agradecemos os desenhos.

SUMÁRIO

O trabalho se propõe a fazer uma revisão da metodologia descrita na literatura para a obtenção do equivalente estático Ward Estendido. Particular atenção foi dedicada à metodologia das reações das barras externas de tensão controlada, das ligações reativas "shunt" e das cargas não-lineares, visando à análise de segurança estática em sistemas parcialmente observáveis. Através de exemplos simples buscou-se estabelecer relações causa-efeito para estudar esses problemas de modelagem. Através desses exemplos foi possível mostrar que tanto as barras de tensão controlada (tipo PV) quanto as ligações reativas "shunt" externas podem ser representadas através de um equivalente reativo exato. Constatou-se ainda que as principais fontes de erros dos equivalentes tipo Ward são provenientes da modelagem de cargas e gerações como sendo injeções de potência constante (ativa e reativa). A criação de ligações "só P", isto é, que não existem do ponto de vista reativo, permite uma representação mais precisa dos caminhos externos efetivamente disponíveis para o fluxo de potência ativa e reativa na presença de barras intermediárias de tensão controlada.

Do ponto de vista computacional foi desenvolvido um algoritmo para a obtenção, num único processo de redução, tanto do equivalente série como do equivalente "shunt", levando em conta o efeito das barras PV eliminadas. Com isso o tempo necessário para a atualização do equivalente foi reduzido de aproximadamente 50%, conforme mostram os exemplos testados.

ÍNDICE

I

PÁGINAS

CAPÍTULO	INTRODUÇÃO	PÁGINAS
CAPÍTULO 1 - INTRODUÇÃO		01
1.1	Objetivos do Trabalho	01
1.2	O problema de Equivalentes Estáticos em SRS	02
1.2.1	Utilização "off-line" de Equivalentes	03
1.2.2	Utilização "on-line" de Equivalentes	05
1.2.3	Acoplamento com o sistema em estudo	07
1.3	Organização do Trabalho	08
CAPÍTULO 2 - EQUIVALENTES ESTÁTICOS - O ESTADO ATUAL		09
2.1	Obtenção do Equivalente Ward Estendido (WE)	10
2.1.1	Obtenção da rede equivalente	10
2.1.2	Obtenção das injeções equivalentes	13
2.2	Comentários relativos ao WE	13
2.2.1	Aspectos de compatibilidade	13
2.2.2	Aspectos computacionais	13
2.2.3	Aspectos de precisão	14
2.2.4	Versões adicionais	14

CAPÍTULO 3 - INVESTIGAÇÃO DE PROBLEMAS LIGADOS À	
MODELAGEM ESTRÁTICA EM LDE	15
3.1 Modelagem de barra PV externa	15
3.1.1 Conexão radial	16
3.1.2 Conexão em malha	18
3.1.3 Representação exata de barra PV externa	
modelo WRE	35
3.1.4 Algoritmo para obtenção do modelo WRE	40
3.2 Modelagem de elemento "shunt" externo	45
3.2.1 "shunt" em sistema radial	47
3.2.2 "shunt" em sistema malhado	51
3.3 Considerações adicionais sobre a modelagem de	
"shunt" e barras PV	55
3.3.1 Transformação de "shunt" em PV equivalente	56
3.3.2 Transformação de barra PV em PQ equivalente	66
3.4 Modelagem das cargas externas ativas e reativas	75
3.4.1 Influência das barras PV externas no	
fluxo ativo entre barras fronteira	75
3.4.2 Influência das perdas ativas e reativas	77
3.5 Modelagem das resistências externas	78
3.5.1 Modelagem das resistências "Shunts"	78
3.5.2 Modelagem das resistências série	79

CAPÍTULO 4 - EQUIVALENTE WARD ESTENDIDO EM UMA ETAPA E WARD REATIVO EXATO	81
4.1 Equivalente Ward Estendido em Uma Etapa (WEUE)	81
4.1.1 Algoritmo para obtenção do WEUE	81
4.1.2 Aspectos computacionais - Teste numérico	85
4.1.3 Precisão do WEUE	86
4.2 Equivalente Ward Reativo Exato (WRE)	87
4.2.1 Obtenção do WRE	87
4.2.2 Precisão do modelo WRE	87
4.2.3 Características computacionais	88
CAPÍTULO 5 - CONSIDERAÇÕES FINAIS	89
5.1 Objetivos perseguidos e resultados alcançados	89
5.2 Desenvolvimentos futuros	92
REFERÊNCIAS BIBLIOGRÁFICAS	93
APÊNDICE	96

PRINCIPAIS SÍGLOS USADOS NO TEXTO

SEE	=	Sistemas de Energia Elétrica
PQ	=	Barra de carga \Rightarrow dados P e Q
PV	=	Barra de tensões controlada \Rightarrow dados P e V
WE	=	Equivalente Ward Estendido
WRE	=	Ward Reativo Exato
WEUE	=	Ward Estendido em Uma Etapa

CAPÍTULO I

I

INTRODUÇÃO

Empresas de energia elétrica utilizam, com freqüência, técnicas de simplificação de cedes para realizar diversos tipos de estudos operacionais e de planejamento. Com a viabilização da supervisão computadorizada da operação de sistemas de energia Elétrica (SEE), tem aumentado nos últimos 10 anos o interesse pela representação precisa dos componentes da rede interligada. A realização das chamadas funções avançadas nos centros de supervisão e controle depende fundamentalmente da capacidade de se modelar corretamente o sistema em operação, bem como de prever as reações do sistema às alterações que possam vir a acontecer durante a operação.

Os avanços alcançados na área de equivalentes estáticos mostram bem como essa busca por modelos mais precisos para a análise estática da rede tem sido intensa em diversos centros de pesquisa. O equivalente Ward Estendido (WE) consultou de pesquisas nessa área desenvolvidas na UNICAMP a partir de 1976 e que estão detalhadas nas referências [6 a 9]. Novas melhorias foram sendo introduzidas e testadas a partir de então [10 a 15, 17].

Dado o grande interesse que esse assunto despertou nas empresas do setor elétrico, surgiu em 1981 a oportunidade do engajamento, como engenheiro de empresa concessionária (CHESF), nessa área de pesquisa. Os estudos desenvolvidos, bem como os resultados alcançados estão sintetizados na forma do presente trabalho acadêmico. Em virtude do estágio avançado das pesquisas existentes ao início deste trabalho, foram colocados os seguintes objetivos básicos para o estudo:

1.1 Objetivos do trabalho

- i) Realizar uma investigação crítica das características do equivalente WE;

- iii) Desenvolver esquemas de obtenção mais eficientes;
- iii) Obter modelos reduzidos mais precisos.

Tendo como base as pesquisas anteriormente desenvolvidas nessa área, buscou-se continuar a investigação dos características dos equivalentes estáticos tipo Ward [1] utilizados em sistemas elétricos de potência. No tocante ao aspecto de modelagem dos componentes do sistema a ser equivalenciado, são realizadas investigações e apresentadas alternativas, devidamente testadas e analisadas. No enfoque computacional é proposto e testado um novo algoritmo para obtenção do equivalente Ward Estendido através de sua redução única. O objetivo fundamental é melhorar as características de precisão e esforço computacional dos modelos atualmente disponíveis.

O trabalho está dirigido basicamente para as aplicações em tempo real ("on-line"), embora sejam possíveis utilizações no modo estudo ("off-line").

1.2 O problema de Equivalentes Estáticos em SEE

Considere-se um sistema elétrico de potência no qual se deseja realizar um estudo de regime permanente, por exemplo, análise de fluxo de carga. Suponha-se que o sistema está particionado em interno e externo, de acordo com o grau de interesse nas grandezas sob análise, ou disponibilidade de dados do sistema representado:

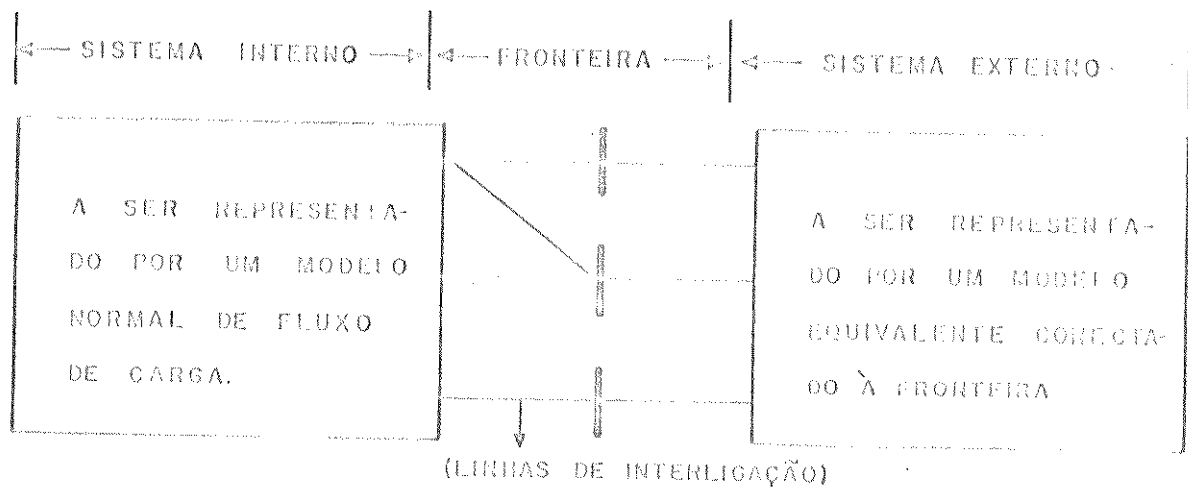


Figura 1.1 - Partições do SEE

Conforme mostrado na Figura 1.1, é conveniente dividir o sistema integrado em três partes:

- SISTEMA INTERNO - É a área de interesse para estudos ou controle. São conhecidos os dados de configuração e condição operacional. A análise é realizada utilizando-se um modelo normal de fluxo de carga.
- SISTEMA EXTERNO - É a área que pode ser substituída por equivalentes, pois é formada pelas partes não essenciais para o estudo. Dependendo do tipo de aplicação, os dados do sistema externo podem ser parcial ou totalmente conhecidos.
- BARRAS DE FRONTEIRA - São as barras que ligam os sistemas interno e externo.

1.2.1 - Utilização "Off-Line" de Equivalentes

No modo "off-line" são disponíveis informações do sistema externo relativos à topologia (configuração) e condições operativas (cargas ativas e reativas, tap's, níveis de tensão em barras PV, etc.). Neste modo a utilização de equivalentes para o sistema externo visa apenas à redução da dimensão do sistema

a ser analisado. Esta redução implica em benefícios em dois aspectos básicos: economia de tempo de estudo, pois há uma diminuição do volume de dados a ser manipulado e analisado; economia de custos computacionais devido à redução da dimensão do problema. A contropartida a estes benefícios é a redução da precisão, pois os equivalentes não são, em geral, exatos.

A utilização de equivalentes no modo "off-line" é corriqueiramente feita nas empresas do setor elétrico nacional. Um método muito usado é o do simples corte das ligações com o sistema externo e substituições dos fluxos correspondentes por injeções de potência na fronteira, (método do programa da PECO), conforme ilustrado na Figura 1.2. Caso haja, pelo sistema externo, algum caminho entre as barras de fronteira ou existam barras de tensão controlada no sistema externo, este método apresentará erros significativos.

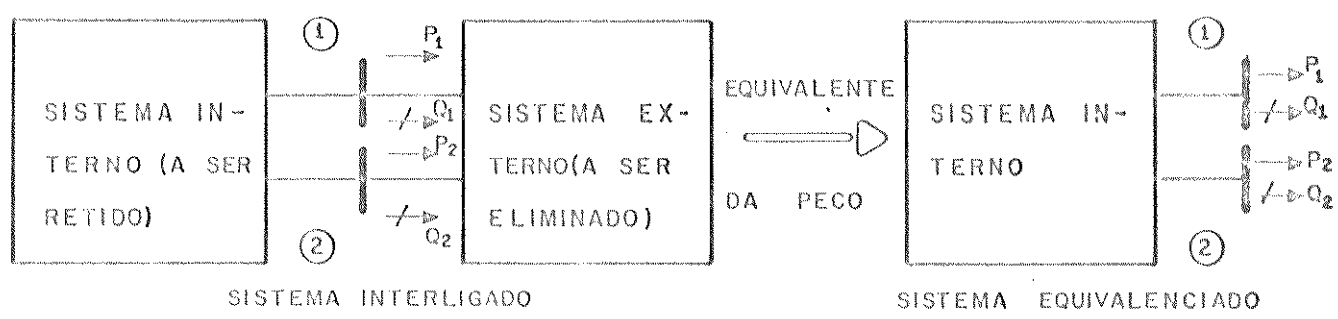


Figura 1.2 - Método de Equivalente através de corte (PECO)

Outra técnica usada consiste na redução passiva considerando as cargas externas como impedâncias (método do programa DEPEQUT), conforme mostrado na Figura 1.3.

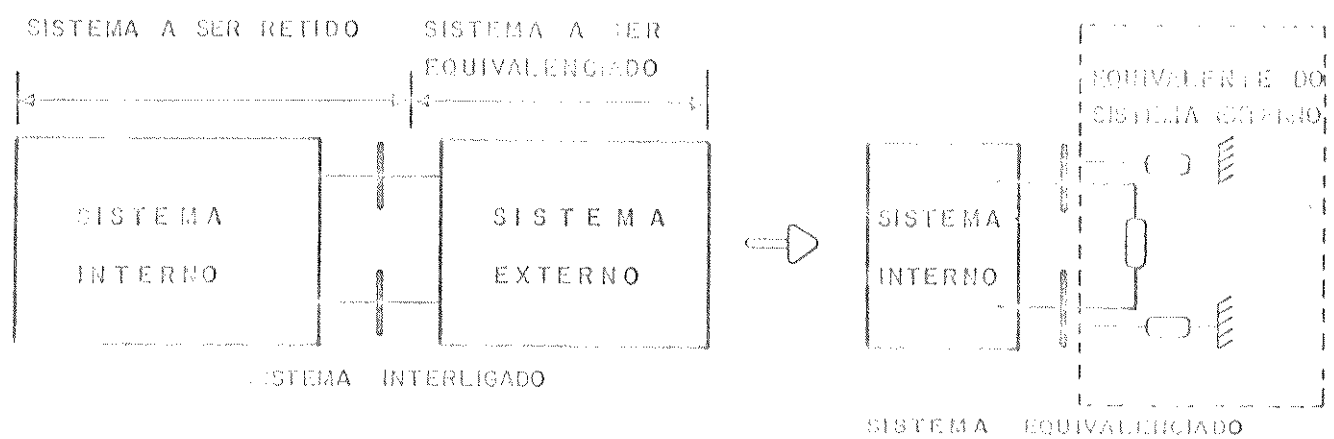


Figura 1.3 - Método de Equivalente utilizando rede passiva

Este método é, em geral, superior ao método de corte anteriormente descrito. A técnica da rede passiva é, no entanto, bastante deficiente pois não modela de modo conveniente algumas não linearidades do sistema externo como as cargas e as barras de tensão controlada.

No modo "off-line" as técnicas de equivalentes são utilizadas basicamente nos estudos que envolvem soluções repetidas de fluxo de carga.

Já existe hoje disponível nas empresas uma metodologia melhorada de equivalentes, baseada no equivalente Ward Estendido (que será apresentado no capítulo 2). Uma dificuldade deste programa é a incompatibilidade com os arquivos de dados atualmente disponíveis para outras aplicações nas empresas.

1.2.2 - Utilização "On-Line" de Equivalentes

Neste modo de aplicação, em geral, não se dispõe de informações completas do sistema externo. Geralmente são

conhecidas as informações referentes à configuração (incluindo a localização das barras de tensão controladas) e se ignoram as informações sobre a condição operacional do sistema externo (cargas ativa e reativa, tap's, etc.).

No modo "on-line" as técnicas de equivalentes não utilizadas para executar algumas funções nos centros de supervisão e controle em tempo real.

Com o propósito de exemplificar a utilização "on-line" de equivalentes, considere-se a função de análise estática de segurança em tempo real. Esta função requer uma análise de contingências, que consiste em simular eventos prováveis de ocorrer no sistema interno (sistema monitorado pelo centro de controle). No modo tempo-real (Figura 1.4), um estimador de estado fornece as variáveis do estado base atual para o sistema observável.

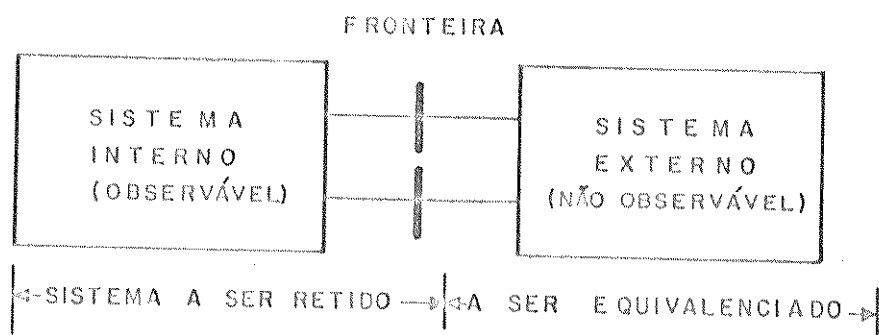


Figura 1.4 - Equivalenciamento em tempo real

No sistema externo só é conhecida a configuração, já que a condição operativa não é disponível em tempo real. Para simular

uma contingência no sistema interno, é necessário, em geral, representar as reações do sistema externo. O modelo equivalente do sistema externo é construído de modo a representar com a máxima fidelidade possível as reações do sistema externo para contingências no sistema interno.

1.2.3 Acoplamento com o sistema em estudo

Tanto nas aplicações "off-line" quanto nas "on-line", uma vez obtido o modelo do sistema externo, este deve ser acoplado, através de um processo denominado ajuste ou casamento de fronteira com o sistema retido (veja Figura 1.5). Este casamento consiste em calcular o balanço de potência ativa e reativa na fronteira para o estado atual disponível.

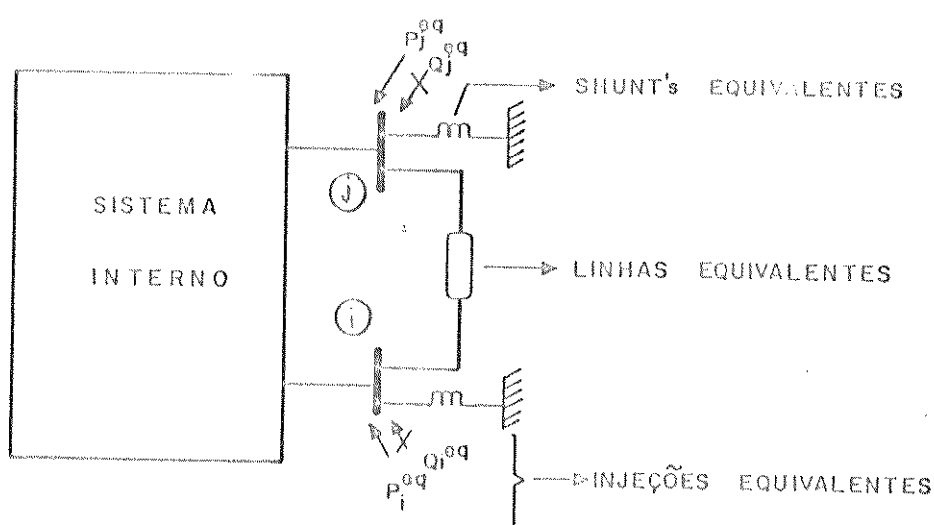


Figura 1.5 - Sistema retido com equivalente externo acoplado

Após o acoplamento do equivalente externo com o sistema retido, é possível iniciar a análise de contingência no sistema interno e avaliar o grau de segurança do sistema monitorado.

1.3 Organização do Trabalho

O presente trabalho apresenta a seguinte estrutura:

CAPÍTULO 1 - É introduzido o assunto, são definidos os objetivos, e apresentadas as formas de utilização de equivalentes em sistemas elétricos de potência.

CAPÍTULO 2 - É descrita a obtenção e são comentados as características básicas do equivalente Ward Estendido (WE).

CAPÍTULO 3 - São investigados os problemas relativos à modelagem de barras PV, "shunts" e cargas não lineares. Apresenta-se um modelo reativo exato, comprovado através de exemplos. Considerações adicionais mostram a possibilidade de se interpretar qualquer "shunt" por uma barra PV equivalente, através de modelagem exata.

CAPÍTULO 4 - São apresentados os algoritmos de obtenção do Ward Estendido em uma redução e do Ward Reativo Exato desenvolvidos neste trabalho. Testes numéricos com o sistema IEEE-118 são apresentados.

CAPÍTULO 5 - Apresenta uma discussão dos resultados e as conclusões do trabalho.

APÊNDICE A - Comenta os programas digitais desenvolvidos no decorrer deste trabalho.

CAPÍTULO 2

EQUIVALENTES ESTÁTICOS - O ESTADO ATUAL

A linha Ward de equivalentes tem sua origem no trabalho [1] de J. B. Ward. Este trabalho pioneiro introduz a utilização da transformação Y-Δ para eliminar os nós externos, considerando as cargas como admitâncias. Como consequência, foi desenvolvida a utilização da matriz Y associada à eliminação gaussiana de modo a se obter a rede reduzida. O processo de eliminação gaussiana, quando aplicado a sistemas lineares, fornece resultados exatos. A aplicação desta técnica linear a um sistema não linear (com barras PV e cargas não lineares), no entanto, apresenta uma série de problemas [6, 7, 8, 9]. O principal problema está relacionado com a representação das barras PV e dos "shunts" externos. Para superar estas dificuldades foram desenvolvidas novas idéias e modelos. Este esforço de pesquisa [6 a 13] levou à obtenção do modelo Ward Estendido (WE), derivado das equações do fluxo de carga. Embora existam outras versões derivadas do modelo WE [12, 13, 16], pode-se caracterizar este modelo como representando o atual estado da arte para os equivalentes tipo Ward.

Este capítulo resume a obtenção do modelo WE e comenta suas características de compatibilidade, esforço computacional e de precisão, com relação às principais áreas de aplicação: estudos "off-line" e análise "on-line" da operação de SEE interligados.

2.1 Obtensão do equivalente Ward Estendido (WE)

2.1.1 Obtensão da rede equivalente

Originalmente o equivalente WE foi desenvolvido a partir das equações do fluxo de carga desacoplado [12]. A obtenção da rede equivalente WE pode ser descrita em duas etapas:

a) Obtenção das ligações série equivalentes:

a1) Formação da matriz admitância nodal Y do sistema externo mais barras de fronteira, ignorando nesta matriz todas as ligações "shunt".

$$Y = \begin{bmatrix} Y_{EE} & Y_{EF} \\ Y_{FE} & Y_{FF} \end{bmatrix} \quad (2.1)$$

a2) Redução das barras externas através da eliminação de Gauss.

$$Y_{red} = \begin{bmatrix} 0 & \\ & Y_{FF}^{eq} \end{bmatrix} \quad (2.2)$$

a3) Interpretação da matriz Y_{FF}^{eq} através de uma rede equivalente. Observar que na equação (2.1) não foram considerados os "shunts" externos. Em função disso a rede equivalente só possui elementos série.

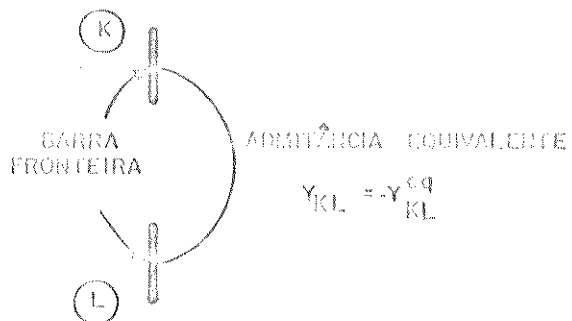


Figura 2.1-1

- b) Obtenção das ligações "shunts" equivalentes
- b1) Formação da matriz admitância nodal \mathbf{Y} das barras externas e de fronteira, "aterrando" as barras PV.

$$\mathbf{Y}' = \begin{bmatrix} Y'_{EE} & Y'_{EF} \\ Y'_{FE} & Y'_{FF} \end{bmatrix} \quad (2.3)$$

- b2) Redução das barras externas e obtenção da matriz \mathbf{Y}'_{red} .

$$\mathbf{Y}'_{red} = \begin{bmatrix} 0 & \text{Hatched Area} \\ \text{Hatched Area} & Y'^{eq}_{FF} \end{bmatrix} \quad (2.4)$$

- b3) A matriz \mathbf{Y}'_{red} tem geralmente elementos "shunt" elevados nas barras de fronteira. Dividindo-se as susceptâncias "shunts" por 2 obtém-se as ligações "shunts" equivalentes do modelo

WE. Pode-se demonstrar que estes elementos "shunts" representam com boa aproximação o efeito reativo das báscas PV externas eliminadas [12].

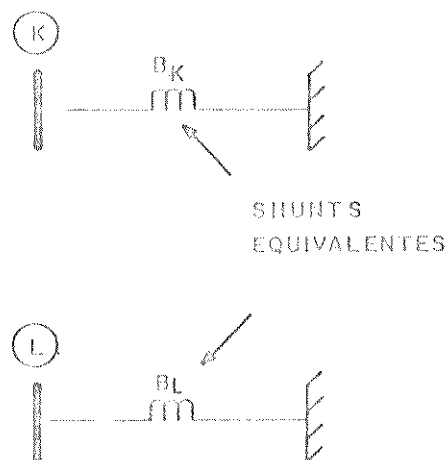


Figura 2.1-2

Uma vez obtida a rede equivalente, o modelo WE pode ser colocado na forma (a) ou (b) da Figura 2.1-3.

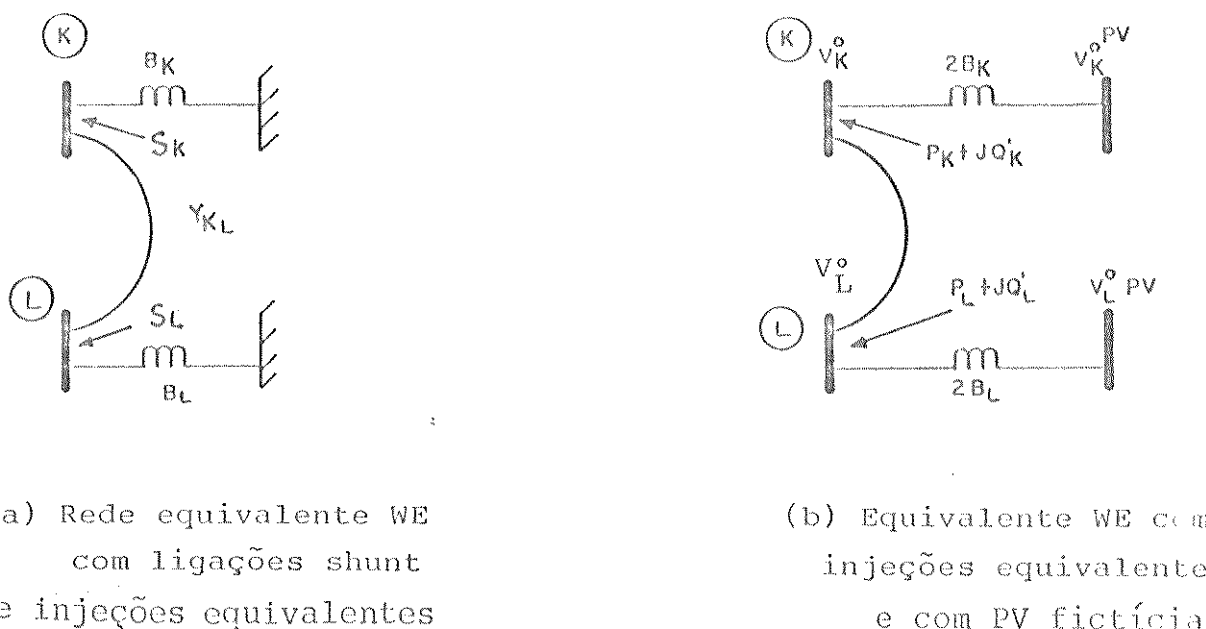


Figura 2.1-3

2.1.2 Obtenção das injeções equivalentes

A figura 2.1-3 mostra a rede equivalente com as injeções equivalentes (S_K e S_B). Estas injeções equivalentes são necessárias para ajustar a rede equivalente às condições do caso base do sistema retido. O cálculo destas injeções pode ser realizado pelo seguinte processo:

- i) Conectar a rede equivalente às barras fronteira;
- ii) Considerar as barras fronteira e as suas vizinhas internas com a tensão complexa do caso base. Nas aplicações em tempo real estas tensões são calculadas pelo estimador de estado;
- iii) Calcular as injeções de potência ativa e reativa (S_K e S_B) requeridas em cada barra fronteira para manter o estado descrito em (ii).

2.2 Comentários Relativos ao WE

2.2.1 Aspectos de Compatibilidade

O modelo WE é simples e de fácil implementação. Pode ser utilizado por qualquer programa padrão de fluxo de carga sem necessidade de modificações ou adaptação, desde que se disponha de informações suficientes para o ajuste ao caso básico em estudo.

2.2.2 Aspectos Computacionais

O equivalente WE completo envolve duas fases distintas: a obtenção da rede equivalente e o ajuste às condições do caso básico. É importante ressaltar que o equivalente é construído apenas com informações da topologia da rede externa, enquanto o estado da rede externa afeta apenas o cálculo das injeções na fronteira. Esta propriedade é fundamental para as aplicações em

tempo real, pois é possível atualizar o equivalente, quando o estado da rede muda, simplesmente recalcando as injetões na fronteira.

2.2.3 Aspectos de Precisão

Através de testes com diversas redes e nas mais variadas condições de operação [13], verifica-se que o WE fornece bons resultados para a análise de contingências em sistemas interligados. Alguns casos isolados foram registrados em que erros menores seriam desejáveis, principalmente com relação aos valores da tensão e dos fluxos de reativos resultantes.

2.2.4 Versões Adicionais

As referências [10, 12, 13] descrevem algumas versões do método WE. Para aplicação em tempo real o método WE, aqui descrito, é o que reúne até o momento as melhores características computacionais e de precisão, aliadas à simplicidade e facilidade de implementação. O método WE é utilizado no programa "ANAREDE", desenvolvido pelo CEPEL, (Centro de Pesquisas da Eletrobrás), para uso nas empresas do setor elétrico brasileiro. Mais recentemente surgiu a proposta de unificar a obtenção do equivalente para aplicações em tempo real com o processo de estimação de estado [15].

CAPÍTULO 3

INVESTIGAÇÃO DE PROBLEMAS LIGADOS À MODELAGEM ESTÁTICA EM REE

Neste capítulo são apresentados alguns avanços obtidos com relação à modelagem estática equivalente de componentes do SRE.

A motivação inicial para essas investigações foi determinar as relações causa-efeito dos erros de reação do equivalente. Para isso, procurou-se isolar os problemas através de exemplos tão simples quanto possível. Esse método de decomposição levou à observação de novas propriedades que permitiram reformular o processo de obtenção do equivalente, aumentando o nível de precisão e limitando o esforço computacional necessário.

3.1 Modelagem de Barra PV externa

Neste item analisa-se, com detalhes, como o equivalente WE modela o efeito das barras PV do sistema externo. Procura-se determinar as causas dos erros e eliminá-las. Para viabilizar esta análise as cargas não lineares (ativas e reativas), as resistências série das linhas e os "shunts" do sistema externo, serão, por enquanto, ignoradas. O sistema externo fica constituído apenas de barras PV e de barras PQ (sem carga).

3.1.1 Conexão radial

- Considere-se o sistema mostrado na Figura 3.1.1-1

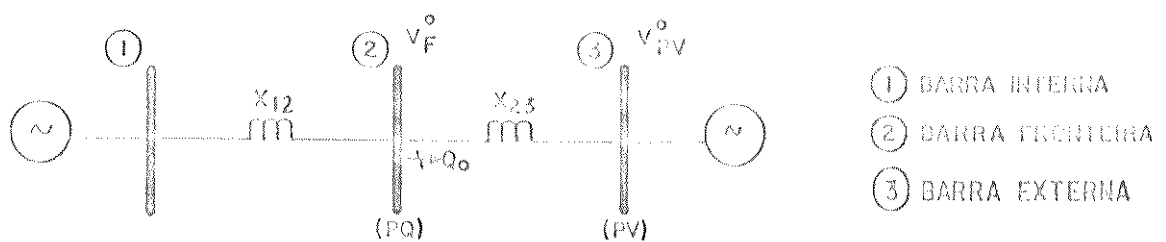


Figura 3.1.1-1

Embora extremamente simples, este sistema permite alcançar várias conclusões importantes. Inicialmente será mostrado que mesmo a versão WE com PV fictícia não modela, em geral, o efeito PV externo de modo exato. No caso em que $V_{PV}^o = V_F^o$ o equivalente é o próprio sistema completo.

Seja o caso geral, onde $V_{PV}^o \neq V_F^o$. Considere-se o caso teste mostrado na Figura 3.1.1-2.

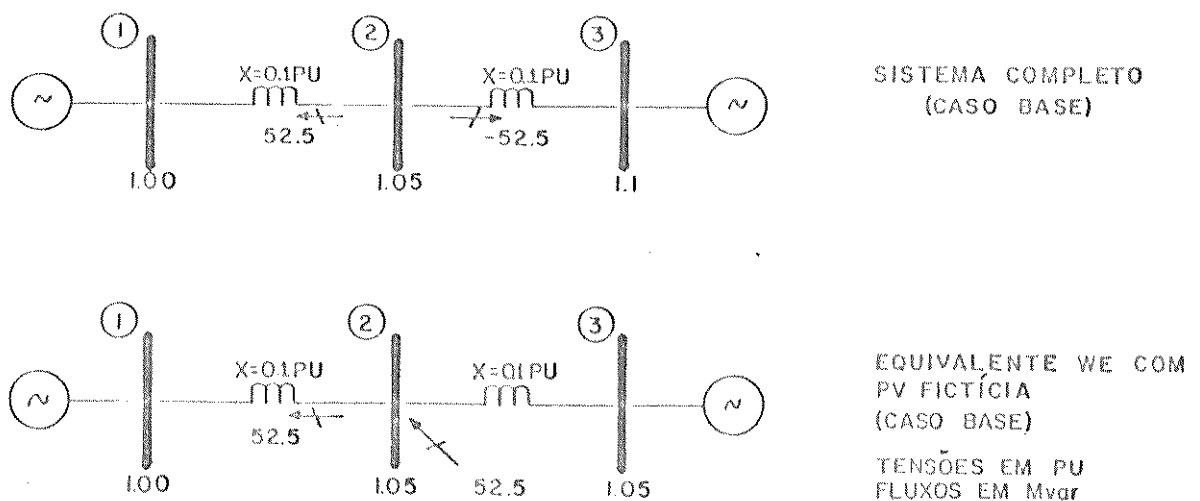


Figura 3.1.1-2

Considere-se uma perturbação no sistema interno que irá consistir em diminuir a tensão da barra V_1 em 30%. Os resultados estão na tabela a seguir:

VARIÁVEIS	V_1	V_2	θ_{21}	
CASO BASE	1,0000	1,0500	52,5	Tensões em PU
				Fluxo em Mvar
CASO COMPLETO	0,7000	0,9000	180,00	
PERTURBADO WE COM PV	0,7000	0,9040	184,50	
FACTFCTA				

Uma análise dos resultados mostra que houve um erro na reação reativa do sistema equivalente de aproximadamente 4,5 Mvar. Conseqüentemente a tensão da barra 2 que deveria ser 0,9000 ficou em 0,9040. Conforme demonstra-se adiante, a principal fonte de erro é a diferença entre as tensões da PV externa e da barra fronteira, no caso base. O erro depende também da condição de carga do sistema interno.

O equivalente WE (versão com "shunt" equivalente) para o sistema da Figura 3.1.1-2 é mostrado na Figura 3.1.1-3.

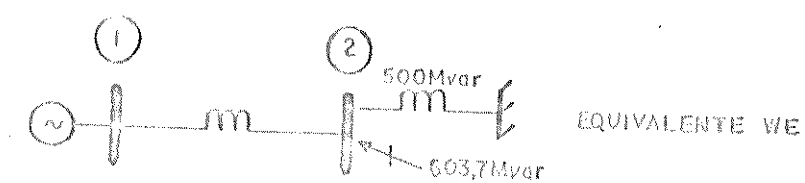


Figura 3.1.1-3

Neste equivalente o valor de V_2 para o sistema perturbado é 0,9093 PU e $Q_{21} = 190,3$ Mvar. Portanto, o erro, neste caso, aumentou. A pergunta que surge é a seguinte: É possível eliminar a PV externa sem cometer erro? A resposta, conforme se verificará, é sim.

Para analisar o problema supõe-se que devido a uma contingência, no sistema interno, a tensão V_F^o varia para $V_F = V_F^o + \Delta V_F$, e consequentemente o fluxo Q_{23} (reação do sistema externo) varia de Q_o para $Q = Q_o + \Delta Q$. Sendo $X_{23} = X$, pode-se equacionar:

$$Q_o = ((V_F^o)^2 - V_F^o V_{PV}^o) / X \quad (3.1)$$

$$Q = ((V_F^o + \Delta V_F)^2 - (V_F^o + \Delta V_F)(V_{PV}^o)) / X \quad (3.2)$$

Logo $\Delta Q \approx Q - Q_o$, vale

$$\Delta Q = (2\Delta V_F V_F^\circ - \Delta V_F V_{PV}^\circ + (\Delta V_F)^2) / X \quad (3.3)$$

Para que o equivalente seja exato ele deve produzir o mesmo ΔQ do sistema completo, conforme mostra a Figura 3.1.1.4.

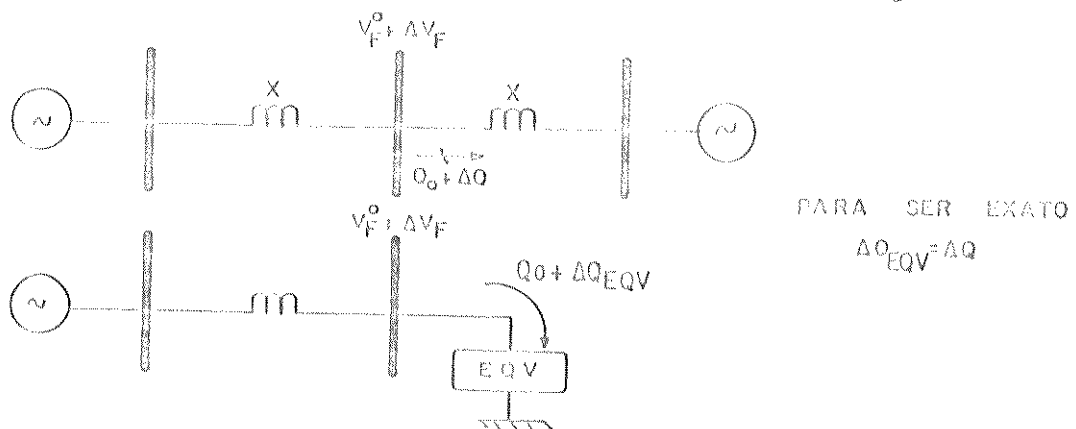


Figura 3.1.1-4

No equivalente tipo WE, a reação de PV externa é modelada conforme a Figura 3.1.1-5

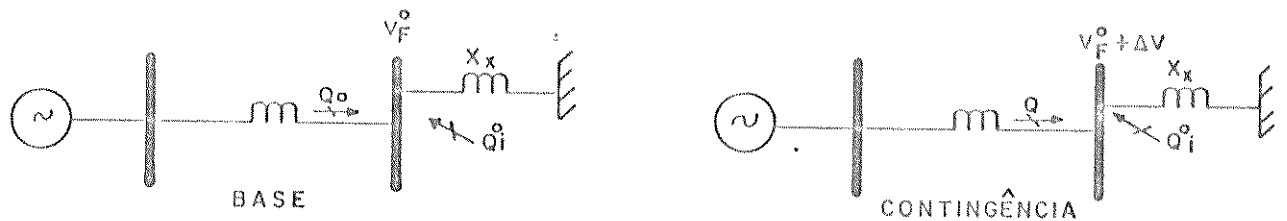


Figura 3.1.1-5

Deseja-se determinar o valor de x_X ("shunt" equivalente) de modo a termos a reação reativa do WE igual à do sistema completo (equação 3.3).

Para ajustar com o caso base deve-se ter

$$Q_i^\circ = ((V_F^\circ)^2 / x_X) - Q_o \text{ ou } Q_o = ((V_F^\circ)^2 / x_X) - Q_i^\circ$$

Quando a tensão na fronteira varia

$$Q = ((V_F^o + \Delta V_F)^2 / X_X) - Q_I^o$$

como

$$\begin{aligned} \Delta Q &= Q - Q_o \Rightarrow \Delta Q = ((V_F^o + \Delta V_F)^2 / X_X) - ((V_F^o)^2 / X_X) \\ \Delta Q &= (2 \Delta V_F V_F^o + \Delta V_F^2) / X_X \end{aligned} \quad (3.4)$$

Para que o modelo WE seja exato, o ΔQ dado por (3.4) deve ser igual ao ΔQ dado por (3.3). Logo:

$$(2 \Delta V_F V_F^o + \Delta V_F^2) / X_X = (2 \Delta V_F V_F^o - \Delta V_F V_{PV}^o + \Delta V_F^2) / X$$

e

$$X_X = X (2 \Delta V_F V_F^o + \Delta V_F^2) / (2 \Delta V_F V_F^o - \Delta V_F V_{PV}^o + \Delta V_F^2) \quad (3.5)$$

Observando a expressão (3.5) verifica-se que o valor da reatância "shunt" X_X é função de ΔV_F . Como o equivalente deve ser exato para qualquer contingência e X_X não pode ser definido, baseado apenas em função de grandezas do caso base, conclui-se que não é possível obter um equivalente WE exato. O modelo WE faz as seguintes aproximações:

supondo $V_{PV}^o \approx V_F^o$, a expressão (3.5) fica:

$$X_X = X (2 \Delta V_F V_F^o + \Delta V_F^2) / (\Delta V_F V_F^o + \Delta V_F^2) \quad (3.6)$$

desprezando o termo de 2ª ordem ΔV_F^2 , resulta

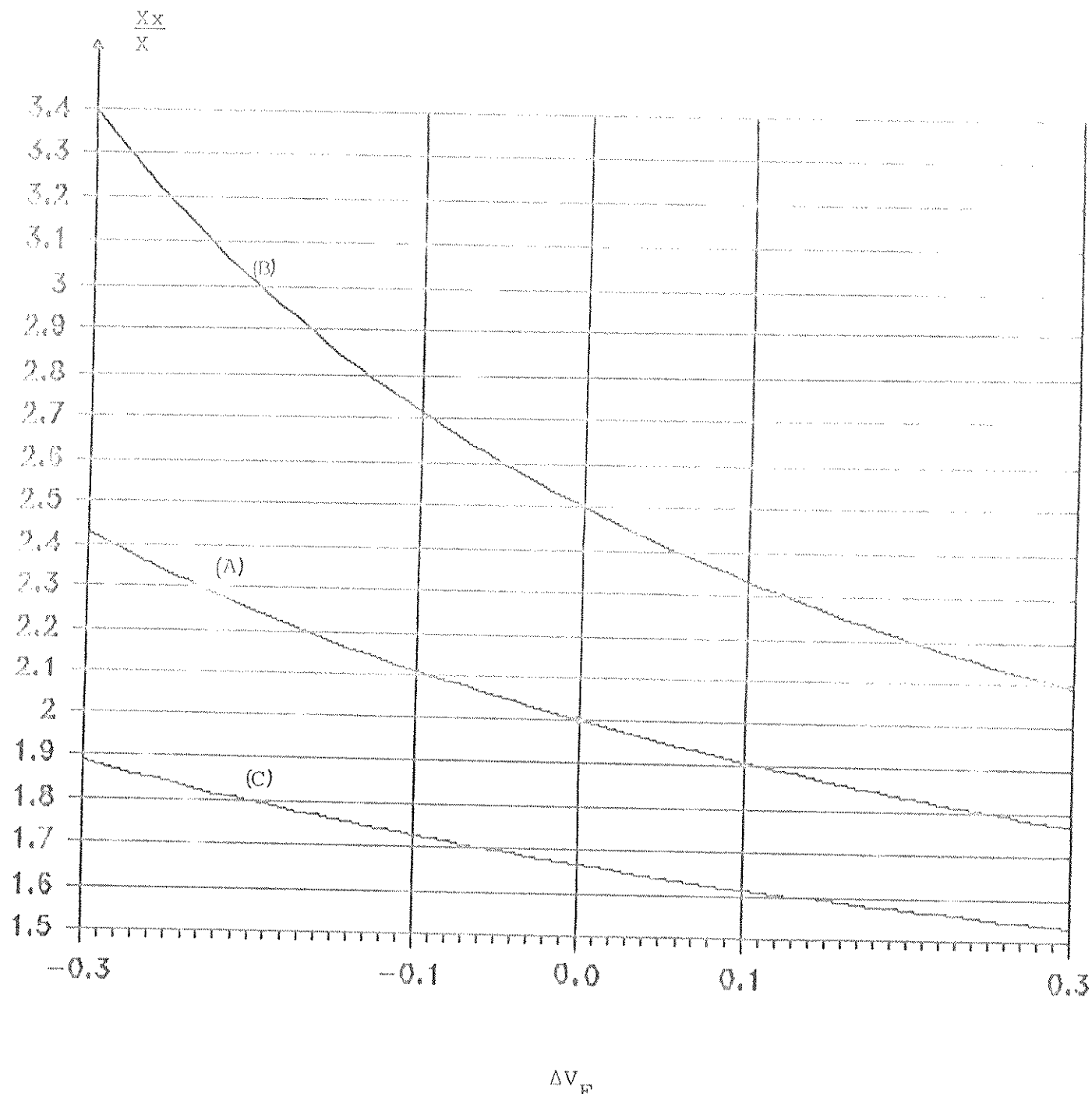
$$X_X = 2X \quad (3.7)$$

A expressão (3.7) é utilizada no equivalente WE. A Figura 3.1.1-6 mostra a variação da relação x_x/x para três valores distintos de v_{PV}^o (supondo $v_F^o = 1 \text{ PU}$). Pode-se fazer as seguintes observações:

- i) Na curva (A) da Fig. 3.1.1-6, mostra-se o caso em que $v_{PV}^o = 1 \text{ PU}$. Notar que quando a contingência é no sentido de baixar a tensão (Δv_F é negativo), o valor da reatância que reproduz exatamente a resposta reativa da barra PV externa é superior ao valor adotado pelo WE. Neste caso o modelo WE vai "segurar" demais a tensão na barra de fronteira. No caso de Δv_F positivo, ocorre o contrário, isto é, a reatância que reproduz exatamente a resposta reativa da barra PV externa é inferior ao calculado pelo WE. Neste caso o modelo vai "soltar" demais a tensão da barra fronteira.
- ii) Na curva (B) da Fig. 3.1.1-6, mostra-se o caso $v_{PV}^o > v_F^o$. Neste caso o modelo WE sempre segura demais o valor da tensão da barra fronteira.
- iii) Na curva (C) da Fig. 3.1.1-6, observa-se que o modelo WE sempre "solta" demais a tensão da barra fronteira.

Introdução de termo linear

Já foi visto que, colocando na barra fronteira uma reatância que absorve reativos com o quadrado da tensão, e uma injeção fixa de Mvar não é possível reproduzir, exatamente, a reação reativa externa. Pode-se introduzir no modelo um elemento linear que absorve reativos com a primeira potência da tensão, isto é, uma carga reativa tipo $I = cte$. Vamos chamar este modelo de WE1. A Figura 3.1.1-7 mostra este modelo.



- (A) CURVA PARA $V_{PV}^o = 1$ PU
- (B) CURVA PARA $V_{PV}^o = 1.2$ PU
- (C) CURVA PARA $V_{PV}^o = 0.8$ PU

Figura 3.1.1-6

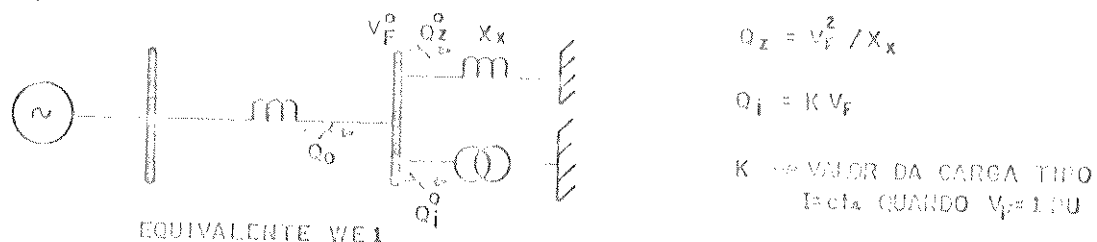


Figura 3.1.1-7

Quer-se verificar se é possível definir X_X e K de modo a consultar um equivalente exato para o sistema da Figura 3.1.1-4.

No caso base, tem-se

$$Q_O = Q_Z^o + Q_I^o$$

porém

$$Q_Z^o = (V_F^o)^2 / X_X \quad \text{e} \quad Q_I^o = K V_F^o$$

logo

$$(V_F^o)^2 / X_X + K V_F^o = Q_O \quad (3.8)$$

Segundo a Figura 3.1.1-1, Q_O é dado por:

$$Q_O = ((V_F^o)^2 - V_F^o V_{PV}^o) / X \quad (3.9)$$

Portanto para "casar" o caso básico, devemos ter:

$$(V_F^o)^2 / X_X + K V_F^o = ((V_F^o)^2 - V_F^o V_{PV}^o) / X \quad (3.10)$$

Quando a tensão na barra fronteira variar para $V_F^o + \Delta V_F$, o reativo absorvido pelo equivalente WEI será:

$$Q = Q_Z + Q_T = (V_F^o + \Delta V_F)^2 / X_X + K (V_F^o + \Delta V_F)$$

E ΔQ será

$$\Delta Q = Q - Q_O = (V_F^o + \Delta V_F)^2 / X_X + K(V_F^o + \Delta V_F) - ((V_F^o)^2 / X_X + K V_F^o)$$

$$\Delta Q = (2\Delta V_F V_F^o + \Delta V_F^2) / X_X + K \Delta V_F \quad (3.11)$$

Para que o equivalente seja exato, ΔQ dado por (3.11) deve ser igual ao ΔQ dado por (3.3). Logo

$$(2\Delta V_F V_F^o + \Delta V_F^2) / X_X + K \Delta V_F^o = (2\Delta V_F V_F^o + \Delta V_F V_{PV}^o + \Delta V_F^2) / X_X \quad (3.12)$$

Explicitando K na equação (3.10)

$$K = (V_F^o - V_{PV}^o) / X = V_F^o / X_X \quad (3.13)$$

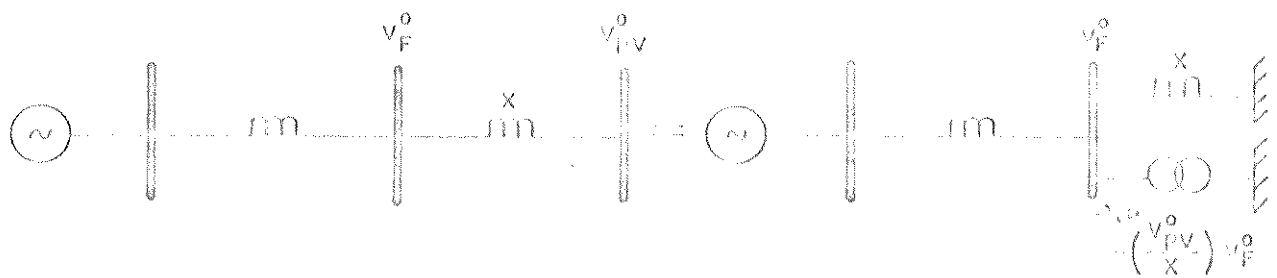
substituindo o valor de K dado por (3.13) em (3.12) obtém-se:

$$X_X = X \quad (3.14)$$

e substituindo este valor de X_X em (3.13), temos:

$$K = - V_{PV}^o / X \quad (3.15)$$

As equações (3.14) e (3.15) nos permitem concluir que o equivalente reativo WEI só depende do estado básico e portanto é exato para as condições assumidas.

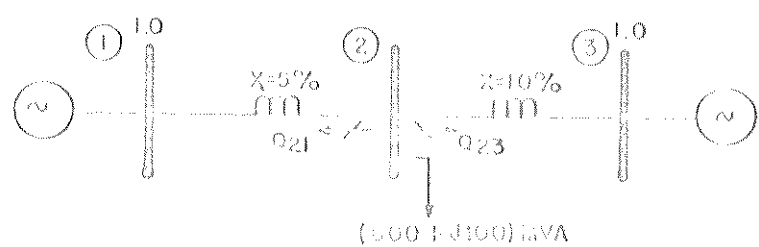


Equivalente Reativo Exato

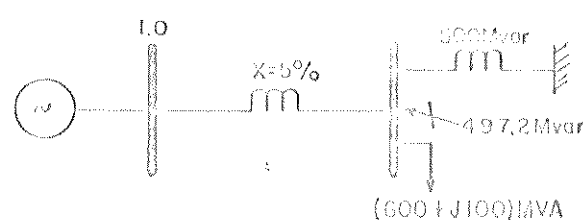
Figura 3.1.1-8

É importante lembrar que o modelo WEI pode ser utilizado na maioria dos programas comerciais, atualmente disponíveis nas empresas, sem necessidade de adaptação. O programa POWERMOD, disponível em todas as empresas participantes do CCOT, possui a modelagem de carga ativa e reativa tipo I = cte. O programa ANAREDE desenvolvido pelo CEPEL também possui modelagem de carga tipo I = cte.

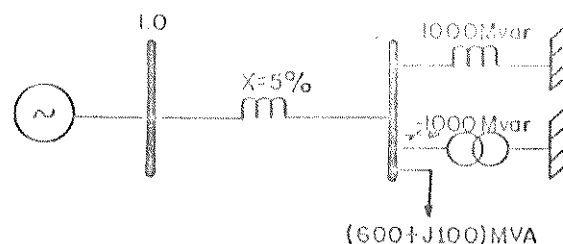
Considere-se um exemplo numérico. A Figura 3.1.1-9 mostra os casos básicos do sistema completo e dos equivalentes WE e WEI.



CASE CO-WE, LTO



BASE WE



BASE WE 1

Figura 3.1.1-9

A tabela que se segue, sintetiza os resultados obtidos ao aplicar-se uma perturbação (diminuição) da tensão da barra de folga em 30%.

		v_1	θ_1	v_2	θ_2	θ_{21}	
	VARIÁVEIS						
CASO	CASE BASE	1,000	0	0,928	-18,9	-33,4	
CASO	COMPLETO	0,700	0	0,613	-44,4	137,4	
PERTURBADO	WE	0,700	0	0,668	-39,9	172,6	
	WE1	0,700	0	0,613	-44,4	137,4	

Tensões em PU; Ângulos em graus; Fluxos em Mvar.

Com relação aos resultados obtidos neste teste pode-se destacar os seguintes pontos:

- a) A reação do WE1, conforme esperado, é exata.
 - b) Em um sistema muito carregado, (como neste caso) o erro de reação reativa do WE causa erro também nos ângulos das tensões.
- Para aplicação em tempo real o equivalente WE1 requer a informação do nível de tensão das barras PV's externas. A prática operacional nas empresas, é definir o nível de tensão das barras PV's para as condições de carga máxima, média e mínima. Portanto, esta informação, assim como a topologia do sistema externo, pode ser obtida em aplicações de tempo real.

- Observa-se que o equivalente WEI, para o caso de N barras PV externas radialmente conectadas à fronteira pode ser facilmente obtido. Basta utilizar as equações (3.14) e (3.15), para cada PV cte r, somar as susceptâncias "shunt" e somar as cargas tipo $I = cte$ nas barras de fronteira correspondentes.

3.1.2 Conexão em malha

Neste item continua-se a analisar apenas a reação reativa do sistema externo. Portanto, suponha-se que o sistema externo só possui barras PV e barras PQ sem carga. As resistências série das linhas e os elementos "shunt" continuam sendo, por enquanto, ignorados.

- Seja o exemplo da Figura 3.1.2-1, onde está mostrado o caso base do sistema completo e do equivalente WE.

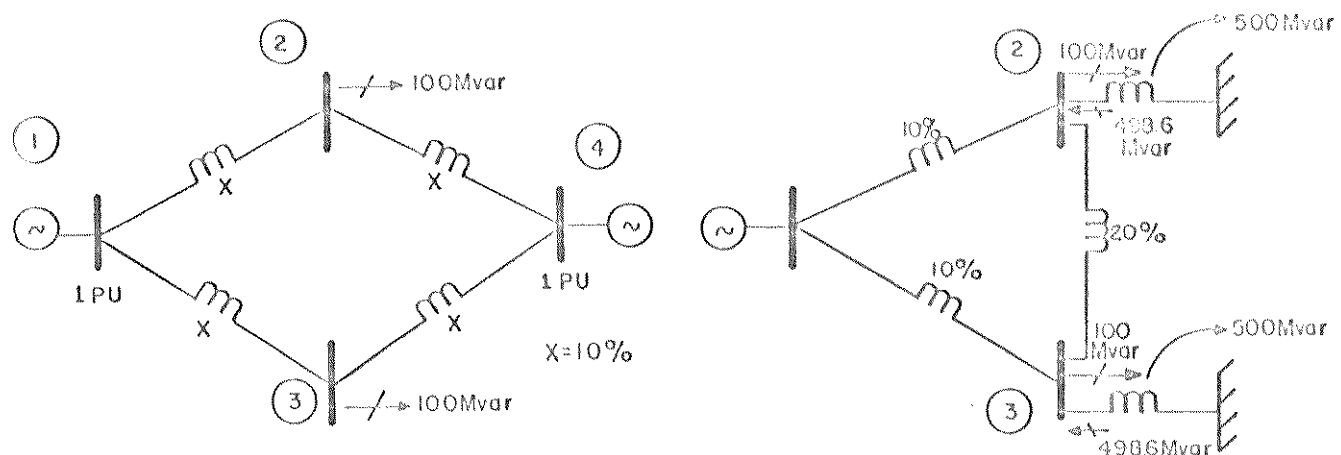


Figura 3.1.2-1

Como contingência considerou-se a perda da linha entre as barras 1 e 2. Nesta contingência a ligação equivalente do modelo WE é altamente solicitada. Observa-se que contingências de variação na tensão da barra "swing" recaí nos casos já analisados no item 3.1.1.

A tabela seguinte resume os resultados encontrados:

VARIÁVEIS	v_1	v_2	v_3	q_{21}	q_{31}	q_{34}	q_{32}
CASO BASE	1,000	0,9472	0,9472	-50,0	-50,0	-50,0	-
CASO COMPLETO	1,000	0,8873	0,9472	-	-50,0	-50,0	-
PERTUR-							
BADO WE	1,000	0,9084	0,9393	-	-57,0	-	14,5

Analizando os resultados da tabela, verifica-se que no sistema completo a contingência só afeta a tensão da barra 2. Isto é natural, pois não há qualquer ligação, sob a ótica da potência reativa, entre a barra 2 e 3, em função da presença, no sistema externo, da barra 4, que é tipo PV. O equivalente WE introduz no modelo equivalente uma ligação para a potência reativa entre as barras 2 e 3. Esta ligação possui, neste caso, uma reatância $x = 20\%$. Esta ligação contribui para introduzir erros na resposta reativa do equivalente. Observa-se na tabela:

$q_{32} = 14,5 \text{ MVar}$ (deveria ser zero).

- Uma alternativa para resolver este problema, seria considerar a reatância da linha equivalente como infinita para a potência reativa. Isto pode ser implementado facilmente em um programa de fluxo de carga decoplado, considerando se dois tipos de linhas: linhas 'Q', usadas no cálculo ativo e reativo e linha 'P', usadas apenas no cálculo ativo. Vamos ilustrar esta idéia em um exemplo simples, conforme ilustrado em 3.1.2-2.

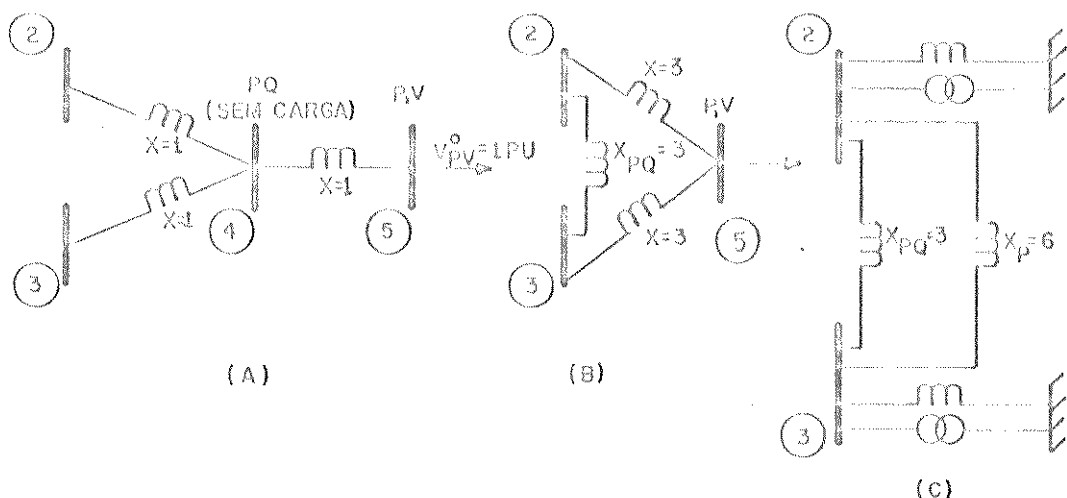


Figura 3.1.2 -2.

A Figura 3.1.2-2 mostra que a idéia é gerar os 2 conjuntos de linhas equivalentes. As ligações entre barras fronteiras provenientes da eliminação das PQ externas são linhas PQ, para potência ativa e reativa.

As linhas adicionais provenientes da eliminação das PV's do sistema externo são linhas apenas para a potência ativa. No exemplo da Figura 3.1.2-2, temos X_{PQ} (linha normal) = 3 PU e X_P (linha "só p") = 6 PU. No caso anterior da (Figura 3.1.2-1) a rede tem apenas a linha "só p" com $X = 20\%$.

Em um programa de fluxo de carga desacoplado o conjunto de linhas "só p" pode ser facilmente implementado da seguinte forma:

- inclua as linhas "só p" na formação de B' .
- Considere as linhas "só p" no cálculo do "mismatch" ativo (ΔP) nas barras de rotativa. Ignore as linhas "só p" no cálculo do "mismatch" reativo ΔQ .

A Figura 3.1.2-3 mostra o equivalente que incorpora a idéia da linha "só p", designado temporariamente como WE2.

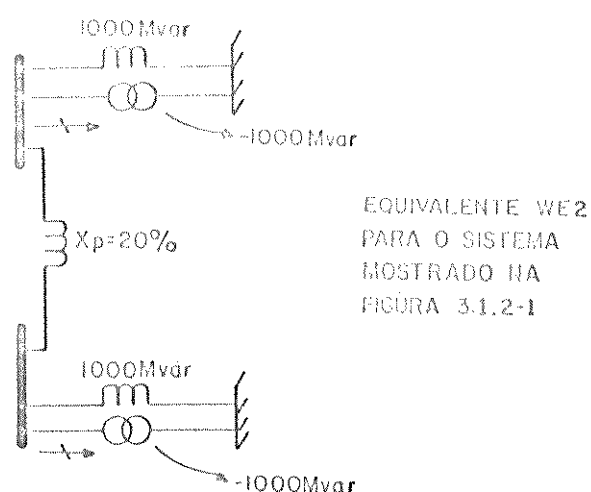


Figura 3.1.2-3

A tabela seguinte mostra uma comparação entre os equivalentes WE e WE2, para o exemplo da Figura 3.1.2-1. A perturbação considerada é a perda da linha 1-2.

VARIÁVEIS	v_1	v_2	v_3	θ_{21}	θ_{31}	θ_{34}	θ_{32}
CASO BASE	1,000	0,9472	0,9472	-50,0	-50,0	-50,0	-
CASO COMPLEXO	1,000	0,8873	0,9472	-	-50,0	-50,0	-
WE	1,000	0,9084	0,9393	-	-57,0	-	14,5
PERTUR-							
BADO	WE2	1,000	0,8873	0,9472	-	-50,0	-
							0

O equivalente WE2, para o caso da tabela anterior, é mostrado na Figura 3.1.2-4, que se segue:

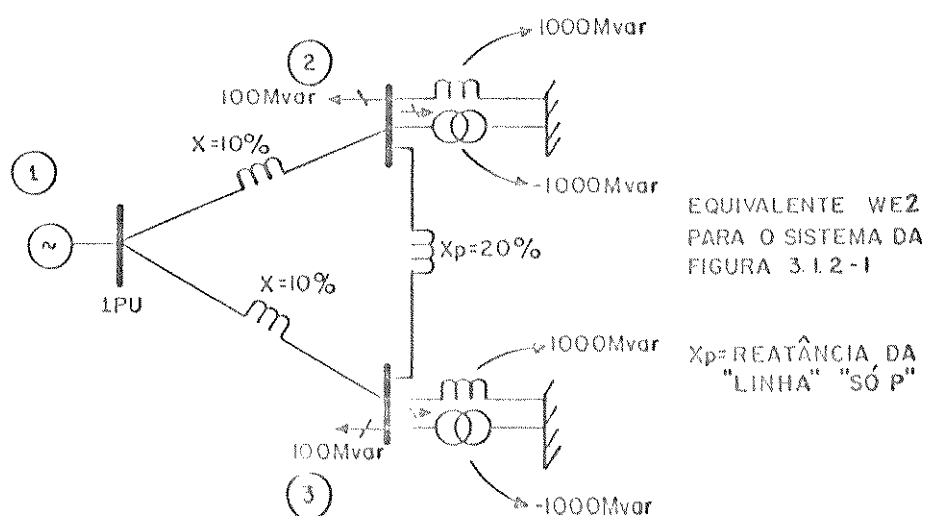


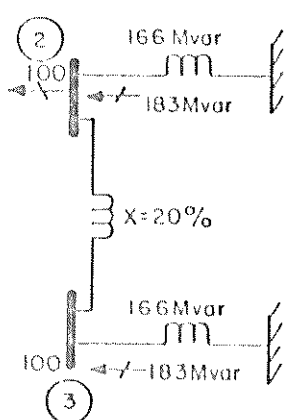
Figura 3.1.2-4

Observando os resultados da tabela anterior verifica-se que a resposta do equivalente WE2 é exata. Isto pode ser explicado da seguinte forma:

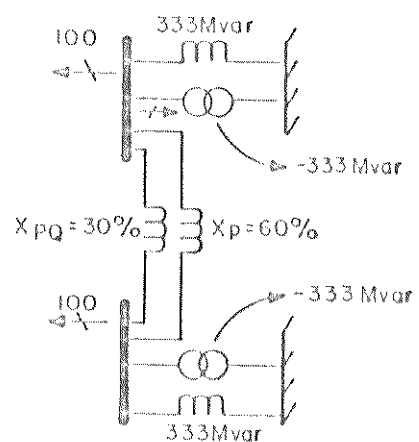
- A reação reativa dos "chunks" equivalentes na barra 2, (reator de 1000 Mvar e carga $I = \text{cte}$ de -1000 Mvar) só conduzem exatamente a reação reativa que a barra 4, do sistema completo exerce sobre a barra 2. Este fato foi demonstrado no item 3.1.1.
- A ligação reativa de $x = 20\%$, existente no WE, é substituída, no WE2, por uma "ligação" $x_p = 20\%$. Como, por definição, esta linha só conduz potência ativa o isolamento reativo, entre as barras 2 e 3 é preservado.

Será útil analisarmos um exemplo um pouco mais geral, como no exemplo da Figura 3.1.2-5. Observa-se que a ligação equivalente entre as barras 2 e 3 no modelo WE é uma linha com $x = 20\%$. No modelo WE2 temos uma linha com $x_{PQ} = 30\%$ (ligação ativa e reativa) e uma ligação $x_p = 60\%$ (ligação apenas para a potência ativa). A Figura 3.1.2-5 mostra o caso básico para o sistema completo e para os equivalentes WE e WE2.

(a) EQUIVALENTE WE



(b) EQUIVALENTE WE2



(c) SISTEMA COMPLETO

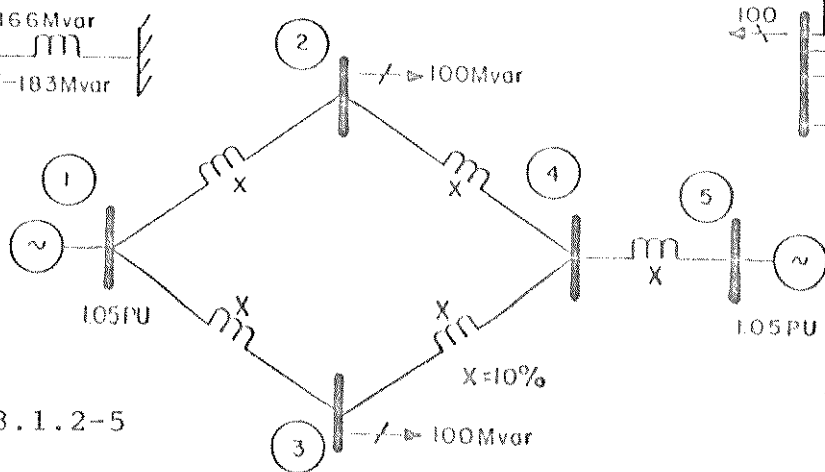


Figura 3.1.2-5

Considerese como contingência a perda da linha 1-2. Nesta contingência as linhas equivalentes do sistema são bastante solicitadas. Os resultados estão resumidos na tabela seguinte:

VARIÁVEIS	v_1	v_2	v_3	Q_{21}	Q_{31}	Q_{34}	Q_{23}	Q_{61}
CASO BASE	1,0500	0,9719	0,9729	-75,0	-75,0	25,0	-	161,9
SISTEMA COMPLETO	1,0500	0,8083	0,9377	-	105,2	5,34	-	117,9
PERCENTUAL TURBADO	WE	1,0500	0,8494	0,9378	-	105,2	-37,5	117,8
	WE2	1,0500	0,8083	0,9377	-	105,3	-34,9	117,9

Uma análise dos resultados da tabela permite destacar os seguintes fatos:

- O equivalente WE2 reproduz exatamente a reação reativa do sistema externo.
- A diferença fundamental, neste caso, entre os modelos WE e WE2 estão na tensão v_2 e no fluxo Q_{23} . Isso mostra que a reatância de $x_{PQ} = 30\%$ para a potência reativa é mais adequado que $x = 20\%$.

É importante observar que, dentro das hipóteses adotadas, a eliminação das barras PQ (sem carga) do sistema externo não introduz erros de reação. No item 3.1.4 iremos examinar um caso mais geral com mais de uma barra PQ e PV no sistema.

externo. Antes, porém, será útil analisar alguns aspectos no tocante aos resultados até agora apresentados. Tudo é feito no item que se segue.

3.1.3 Representação exata da barra PV externa - Modelo WRE

As equações 3.14 e 3.15 podem ser aplicadas ao caso de m barras conectadas radialmente à fronteira. Conforme mostrado na Figura 3.1.3-1.

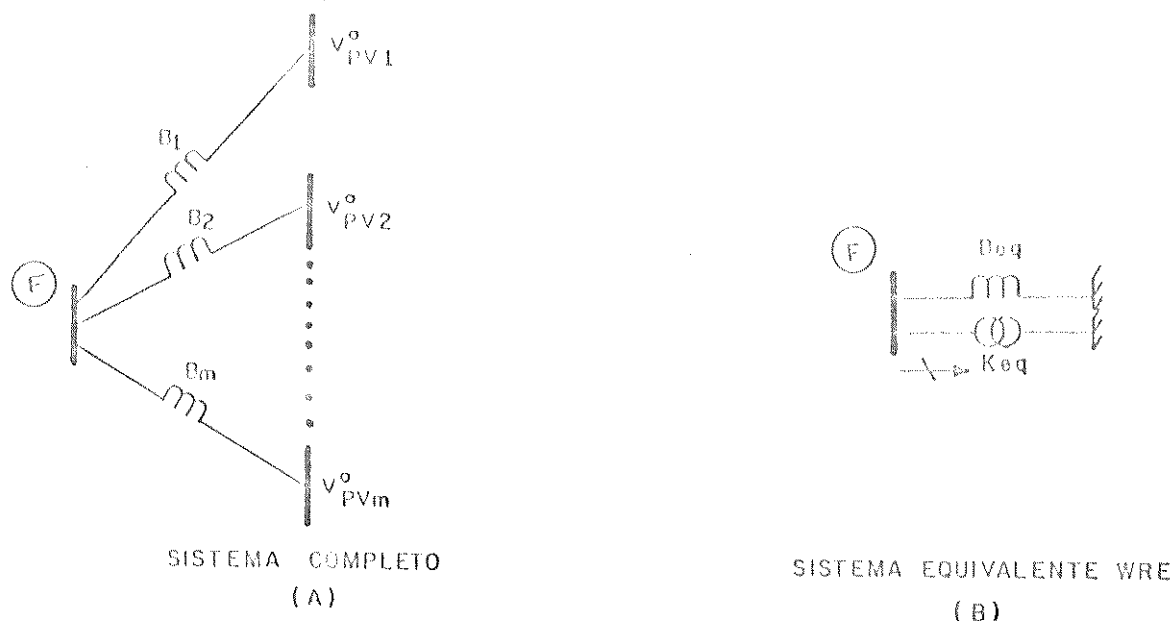


Figura 3.1.3-1

neste caso

$$B_{eq} = \sum_{i=1}^m B_i \quad (3.16)$$

$$K_{eq} = \sum_{i=1}^m B_i V_{PVi}^0 \quad (3.17)$$

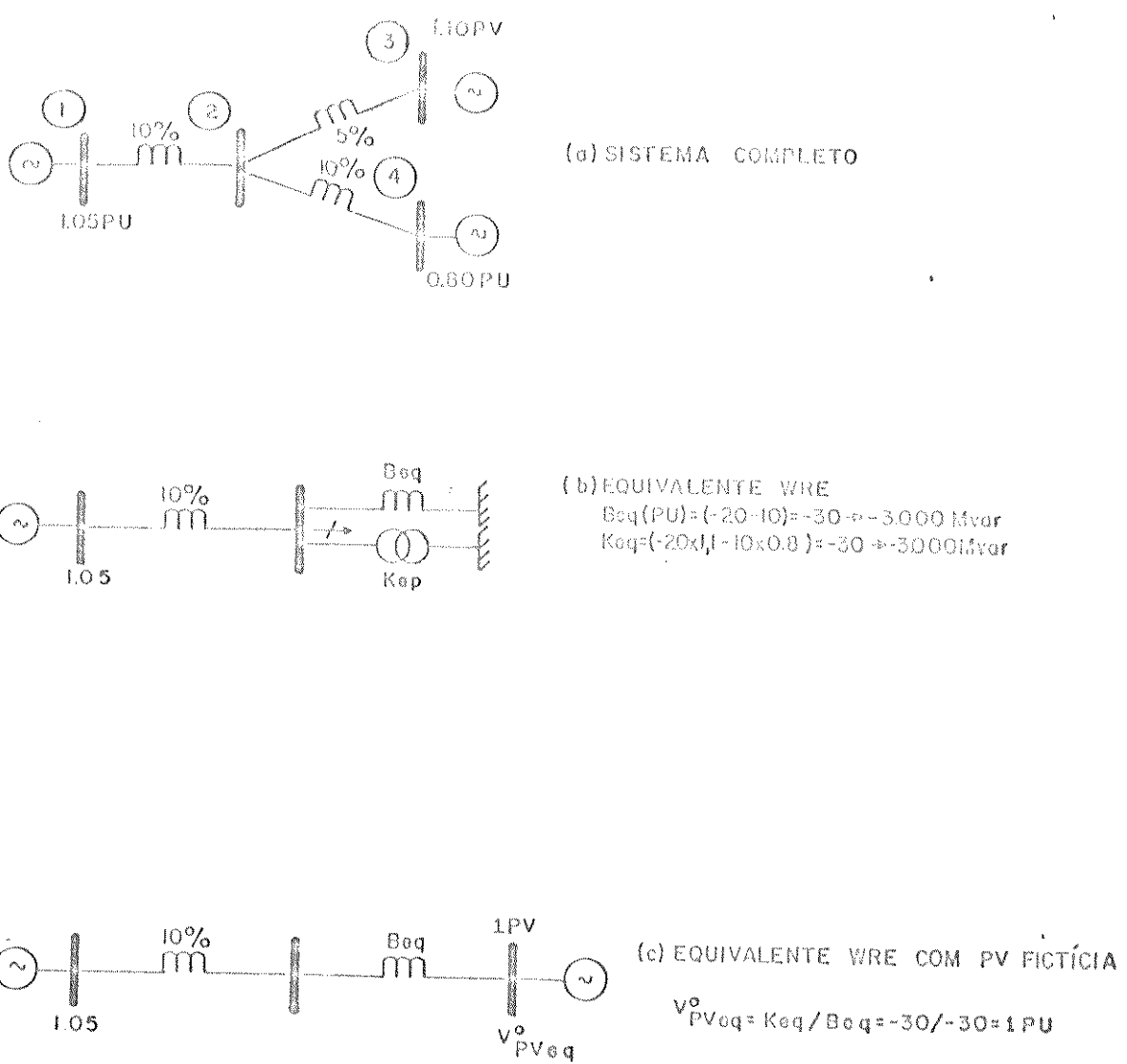
As equações (3.16) e (3.17) são decorrência imediata de (3.14) e (3.15) respectivamente. A equação (3.16) indica a susceptância equivalente ao paralelo das reatâncias dadas por (3.14). A equação (3.17) é a soma das cargas tipo I=cte dadas

pela equação (3.15). Notar que quando os B_i forem indutivos (susceptâncias negativas), o valor de K_{eq} será negativo (carga negativa). Vale destacar na Figura 3.1.3-1 e nas equações (3.16) e (3.17) os seguintes pontos:

- O equivalente WRE possui um elemento (injeção equivalente) que não varia com a tensão da barra fronteira. Conseqüentemente quando o estado da fronteira varia a injeção equivalente precisa ser recalculada. O equivalente WRE por outro lado "casa" automaticamente com o caso básico. Não necessita a etapa de casamento na fronteira para a representação do efeito PV externo.
- Notar que o lado (b) da Figura 3.1.3-1 pode ser interpretado como o equivalente de uma única barra PV externa. Esta PV se liga com a fronteira através de uma susceptância B_{eq} e tem como tensão de operação $V_{PV} = K_{eq}/B_{eq}$. Logo, o modelo WRE pode funcionar com um programa de fluxo de carga que não tenha modelagem de carga reativa tipo $I=cte$. Basta usar o artifício de adicionar, para cada fronteira, uma PV fictícia. Esta PV fictícia se conecta com a fronteira através da susceptância B_{eq} , dada por (3.16) e tem um nível de tensão dado por:

$$V_{PVeq}^o = \frac{K_{eq}}{B_{eq}} = \frac{\sum_{i=1}^m B_i V_{PVi}^o}{\sum_{i=1}^m B_i} \quad (3.18)$$

A tensão de operação da PV fictícia corresponde à média das tensões PV externas, ponderada pelas susceptâncias das ligações com a fronteira. A Figura 3.1.3-2 exemplifica esta versão do equivalente WRE.



Os sistemas (a), (b) e (c) são exatamente equivalentes do ponto de vista reativo. As duas listagens, que se seguem, mostram o caso base e contingências de ±30% na tensão da barra "swing" para o sistema completo ((a) na Figura 3.1.3-2), e para o equivalente WRE com PV fictícia ((c) na Figura 3.1.3-2), respectivamente. Notar que o equivalente WRE com PV fictícia é exatamente igual, em termos de reação reativa, ao sistema completo.

ESTUDO DE FLUXO DE CARREGAMENTO									
TOLERÂNCIA PARA POTÊNCIA ATIVA E REATIVA 0,06010 PU									
*** CASO BASE COMPLETO *** EXEMPLO FIGURA 3.1.3-2 ***									
FLUXO DESACOPLADO									
NB	NL	NT	NTAP	NREA	SLACK	BARRA	MW	MVAR	MVA
4	3	0	0	2	1				
MEIAS ITERAÇÕES 0									
BARRA	TENSÃO	DELTA	MW	MVAR		BARRA	MW	MVAR	MVA
1	1.0500	0.00	0.00	52.50		2	0.00	52.50	52.50
2	1.0000	0.00	0.00	-50.00		4	0.00	200.00	200.00
						3	0.00	-200.00	200.00
						1	0.00	50.00	50.00
3	1.1000	0.00	0.00	220.00		2	0.00	220.00	220.00
4	0.8000	0.00	0.00	-160.00		2	0.00	-160.00	160.00
*** COMPLETO *** CHANGE *** TENSÃO NA SWING 1.35PU									
FLUXO DESACOPLADO									
NB	NL	NT	NTAP	NREA	SLACK	BARRA	MW	MVAR	MVA
4	3	0	0	2	1				
MEIAS ITERAÇÕES 2									
BARRA	TENSÃO	DELTA	MW	MVAR		BARRA	MW	MVAR	MVA
1	1.3500	0.00	0.00	370.06		2	0.00	370.06	370.06
2	1.0759	0.00	0.00	-50.00		4	0.00	296.02	296.02
						3	0.00	-51.90	51.90
						1	0.00	-224.92	224.92
3	1.1000	0.00	0.00	53.06		2	0.00	53.06	53.06
4	0.8000	0.00	0.00	-220.71		2	0.00	-220.71	220.71
*** COMPLETO *** CHANGE *** TENSÃO NA SWING 0.75PU									
FLUXO DESACOPLADO									
NB	NL	NT	NTAP	NREA	SLACK	BARRA	MW	MVAR	MVA
4	3	0	0	2	1				
MEIAS ITERAÇÕES 2									
BARRA	TENSÃO	DELTA	MW	MVAR		BARRA	MW	MVAR	MVA
1	0.7500	0.00	0.00	130.48		2	0.00	130.48	130.48
2	0.9240	0.00	0.00	-50.00		4	0.00	114.55	114.55
						3	0.00	-325.29	325.29
						1	0.00	160.75	160.75
3	1.1000	0.00	0.00	387.26		2	0.00	387.26	387.26
4	0.8000	0.00	0.00	-99.48		2	0.00	-99.48	99.48

ESTUDO DE FLUXO DE CARGA									
DADOS DE SÓLIDA ** EXEMPLO FIGURA 3.1.3-2***									
TOLERANCIA PARA POTENCIA ATIVA E REATIVA 0.00010 PU									
SISTEMA EQUIVALENTE DO CIRCUITO MRE, COM CÁSOS BASE COM EQUIVALENTE DE PÔDEIS E FLUXO DESACOPLADO									
NB NL NT NIAP NREA SLACK									
3	2	0	0	1	1				
MEIAS ITERACOES 0									
BARRA	TENSAO	DELTA	MW	MVAR	BARRA	MW	MVAR	MVA	
1	1.0500	0.00	0.00	52.50	2	0.00	52.50	52.50	
2	1.0000	0.00	0.00	-50.00	3	0.00	0.00	0.00	
3	1.0000	0.00	0.00	0.00	1	0.00	-50.00	50.00	
					2	0.00	0.00	0.00	
SISTEMA EQUIVALENTE DO CIRCUITO MRE ** TENSÃO NA SWING 1.05PU									
FLUXO DESACOPLADO									
NB	NL	NT	NIAP	NREA	SLACK				
3	2	0	0	1	1				
MEIAS ITERACOES 2									
BARRA	TENSAO	DELTA	MW	MVAR	BARRA	MW	MVAR	MVA	
1	1.3500	0.00	0.00	370.06	2	0.00	370.06	370.06	
2	1.0759	0.00	0.00	-50.00	3	0.00	244.92	244.92	
3	1.0000	0.00	0.00	-227.65	1	0.00	-224.92	224.92	
					2	0.00	-227.65	227.65	
SISTEMA EQUIVALENTE ** EQ. MRE** TENSÃO NA SWING 1.25PU									
FLUXO DESACOPLADO									
NB	NL	NT	NIAP	NREA	SLACK				
3	2	0	0	1	1				
MEIAS ITERACOES 2									
BARRA	TENSAO	DELTA	MW	MVAR	BARRA	MW	MVAR	MVA	
1	0.7500	0.00	0.00	-130.48	2	0.00	-130.48	130.48	
2	0.9240	0.00	0.00	-50.00	3	0.00	-210.74	210.74	
3	1.0000	0.00	0.00	228.09	1	0.00	160.75	160.75	
					2	0.00	228.09	228.09	

3.1.4 Algoritmo para obtenção do modelo WRE

A obtenção do modelo WRE para um sistema externo com m barras PQ e n barras PV, conforme mostrado na parte (b) da Figura 3.1.4-1, pode ser realizada nas seguintes fases:

- Formação da matriz Y_B das barras fronteira e externas, e eliminação das m barras PQ do sistema externo. As linhas que surgiram entre as barras fronteira farão parte do conjunto de linhas equivalentes PQ, para potência ativa e reativa.
- Cálculo para cada barra fronteira, do "shunt" equivalente (B_{eq}) e a carga reativa tipo $I=cte$ (K_{eq}). Para tanto use as equações (3.16) e (3.17). As barras PV que não estiverem diretamente conectadas com a fronteira, conforme mostrado na Figura 3.1.3-1, não são consideradas no somatório para cálculo de B_{eq} e K_{eq} .
- Continue com o processo de eliminação, eliminando as n barras PV do sistema externo. As linhas que aparecem entre as barras de fronteira são as "ligações" "só P".
- Não é necessário o casamento do equivalente com o caso base. Ele já está automaticamente casado.
- Se desejar o WRE com PV fictícia, use a equação 3.18.

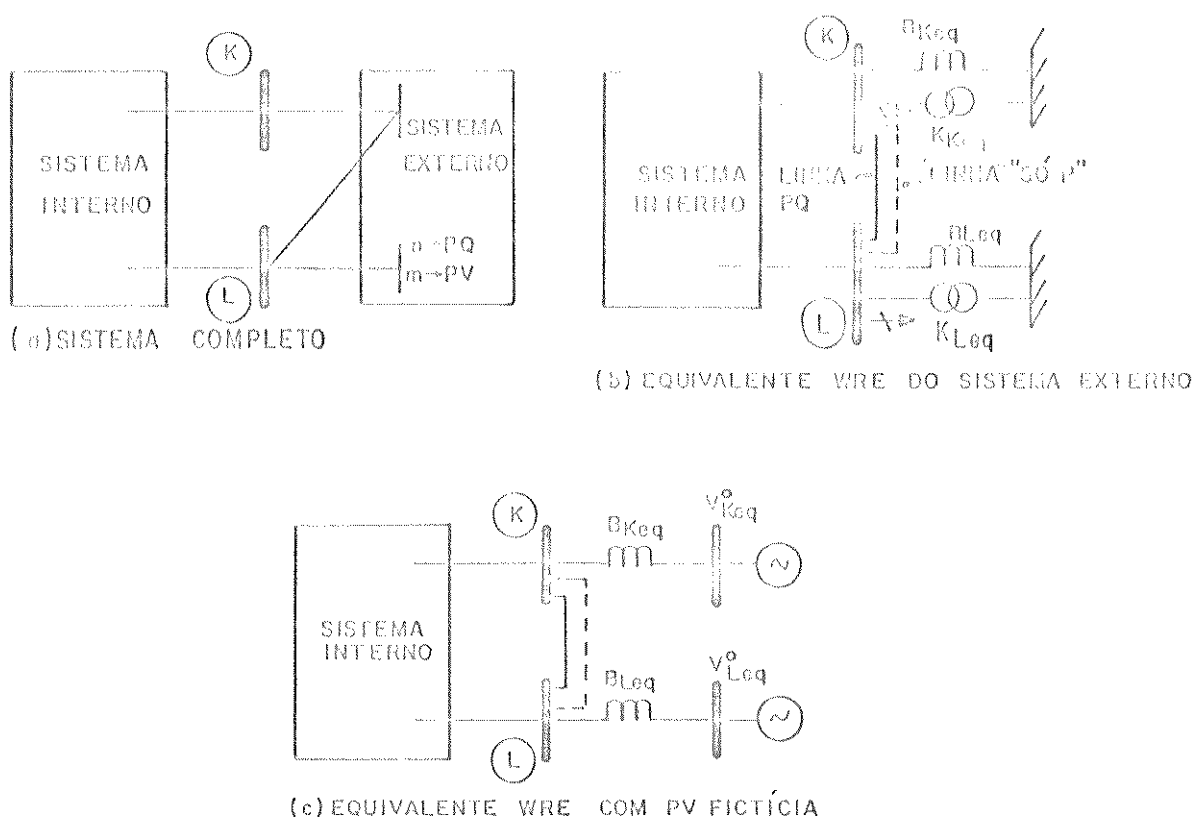


Figura 3.1.4-1

Para exemplificar, considere-se a obtenção do equivalente WRE com PV fictícia para o sistema mostrado na Figura 3.1.4-2. Para testar a precisão do equivalente foi realizada uma contingência de perda da linha 1 - 2. A listagem 3.1.4-1 mostra o caso base do sistema completo, do equivalente WE, e do equivalente WRE com PV fictícia. Notar que o modelo equivalente WRE com PV fictícia não necessita de "casamento" com o estado do caso base. Observa-se que no caso base do equivalente WRE (versão com PV fictícia) a primeira linha entre as barras 2 e 3 é uma linha "só P" indicada na listagem pelo símbolo "P...". A listagem 3.1.4-2 mostra os resultados para a contingência de perda da linha 1 - 2. Notar que o modelo WE apresenta erros

para a tensão nas barras da fronteira, o modelo WRE (com PV fictícia) reproduz exatamente a reação do sistema completo.

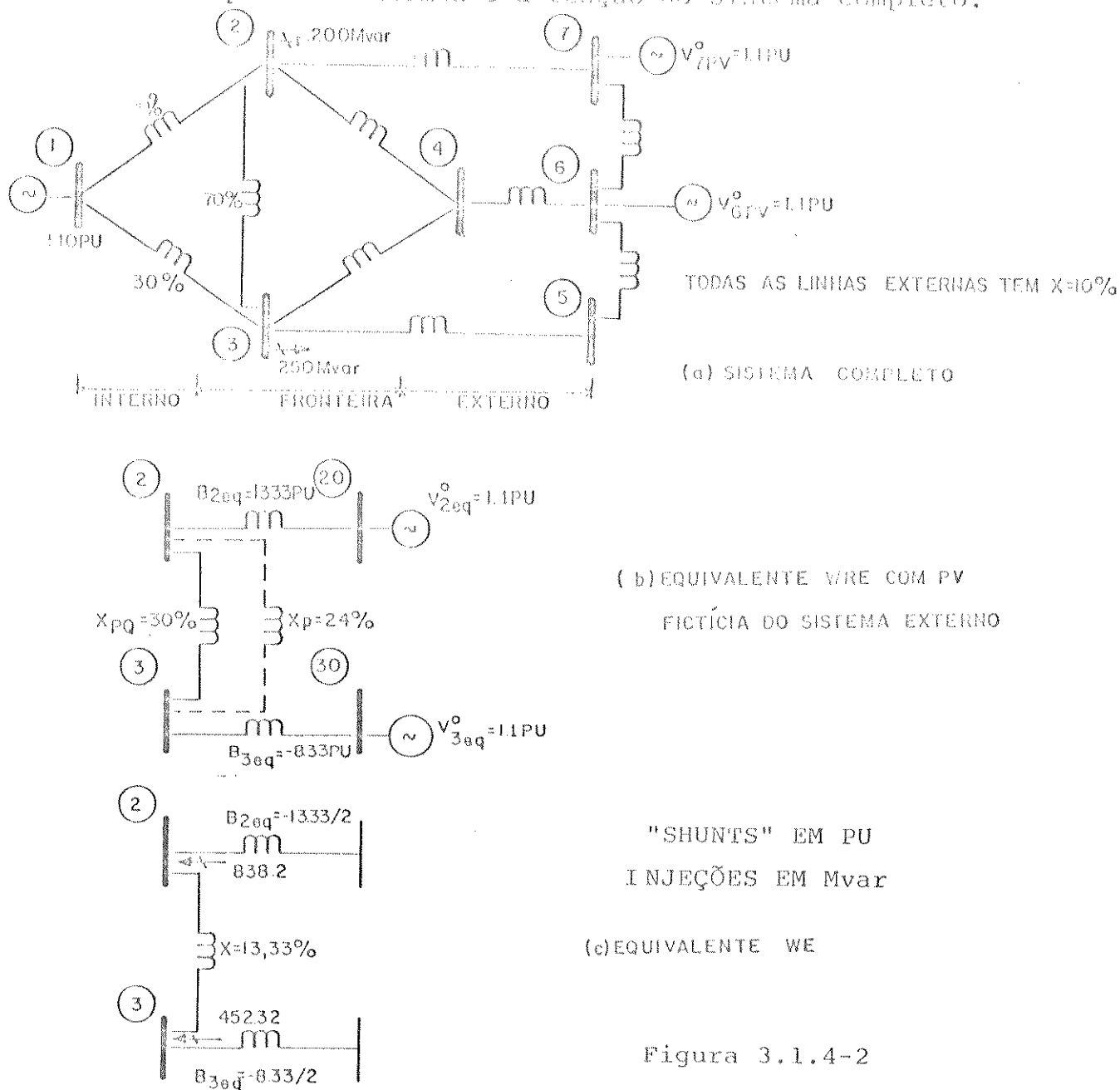


Figura 3.1.4-2

ESTUDO DE LUUXO DE COROA									
TOLERANCIA PARA POTENCIA ATIVA E REATIVA 0.00010 PU									
CARGO BASE SISTEMA COMPLETO *									
HB	NL	NI	NTGP	NREA	SLACK	BARRA	MW	MVAR	
7	10	0	0	2	1				
BARRO	TENSÃO	DELTA		MW	MVAR	BARRA	MW	MVAR	
1	1.1000	0.00		0.00	189.09	3	0.00	73.16	/3.16
						2	0.00	115.93	115.93
						7	0.00	0.00	0.00
						9	0.00	192.74	192.74
						4	0.00	111.00	111.00
						6	0.00	0.00	0.00
						2	0.00	115.93	115.93
						7	0.00	-104.82	104.82
						4	0.00	-3.73	3.73
						3	0.00	19.38	19.38
						1	0.00	-104.82	104.82
						5	0.00	-69.84	69.84
						4	0.00	-88.15	88.15
						2	0.00	-12.11	12.11
						3	0.00	97.73	97.73
						2	0.00	3.74	3.74
						6	0.00	99.79	99.79
						3	0.00	99.79	99.79
*** CASO BASE EQUIVALENTE MWD EXTENDIDO ***									
HB	NL	NI	NTGP	NREA	SLACK	BARRA	MW	MVAR	
3	4	0	0	0	1				
BARRO	TENSÃO	DELTA		MW	MVAR	BARRA	MW	MVAR	
1	1.1000	0.00		0.00	189.06	3	0.00	73.14	/3.14
						2	0.00	115.92	115.92
						3	0.00	70.20	70.20
						3	0.00	19.37	19.37
						1	0.00	-104.81	104.81
						2	0.00	-63.55	63.55
						2	0.00	-12.11	12.11
						1	0.00	-59.08	59.08
*** CASO BÁSICO EQUIVALENTE WRE (VERSÃO COM PV FICTICIA) ***									
HB	NL	NI	NTGP	NREA	SLACK	BARRA	MW	MVAR	
5	7	0	0	2	1				
BARRO	TENSÃO	DELTA		MW	MVAR	BARRA	MW	MVAR	
1	1.1000	0.00		0.00	189.11	3	0.00	73.17	73.17
						2	0.00	115.95	115.95
						P...	3	0.00	0.00
							20	0.00	-139.74
							3	0.00	31.21
							3	0.00	13.38
							1	0.00	-104.84
							2	0.00	0.00
							30	0.00	-149.73
							2	0.00	-28.26
							2	0.00	-12.11
							1	0.00	-59.09
20	1.1000	0.00		0.00	154.55				
30	1.1000	0.00		0.00	182.92				

*** LISTAGEM 3.1.4-1 ***

ESTUDO DE FLUXO DE CARGA DADOS DE ENTRADA REFERIDO DA FIGURA 3.1.4-2									
TOLERÂNCIA PARA POTÊNCIA ATIVA E REATIVA 0.00010 PU									
* TESTE COMPLETO SEM LINHA 4-2									
** NB NL NT NTAP NREA SLACK									
BARRA	TENSÃO	DELTIA	NW	MVAR	BARRA	NW	MVAR	RVAI	
1	1.1000	0.00	0.00	82.95	3	0.00	82.95	82.95	
6	1.1000	0.00	0.00	273.22	7	0.00	0.00	0.00	
7	1.1000	0.00	0.00	197.57	5	0.00	124.42	124.42	
2	0.9204	0.00	0.00	-200.00	4	0.00	140.00	140.00	
3	0.0738	0.00	0.00	-250.00	6	0.00	0.00	0.00	
4	0.9647	0.00	0.00	0.00	2	0.00	197.57	197.57	
5	0.9869	0.00	0.00	0.00	7	0.00	-165.34	-165.34	
					4	0.00	-40.81	40.81	
					3	0.00	6.13	6.13	
					5	0.00	-70.03	98.03	
					4	0.00	-72.46	72.46	
					2	0.00	-5.82	5.82	
					1	0.00	-65.37	65.37	
					6	0.00	-100.50	100.50	
					3	0.00	82.73	82.73	
					2	0.00	42.77	42.77	
					6	0.00	-111.62	111.62	
					3	0.00	111.62	111.62	
POTÉNCIA EQUIVALENTE DE CARGA REFERIDA SEM A LINHA 4-2									
BARRA	TENSÃO	DELTIA	NW	MVAR	BARRA	NW	MVAR	RVAI	
1	1.1000	0.00	0.00	82.95	3	0.00	82.95	82.95	
2	0.9369	0.00	0.00	608.20	3	0.00	44.61	44.61	
3	0.0734	0.00	0.00	202.30	3	0.00	8.50	8.50	
					2	0.00	-41.59	41.59	
					2	0.00	-7.92	7.92	
					1	0.00	-65.97	65.97	
POTÉNCIA EQUIVALENTE NW COM PV FICTICIA SEM A LINHA 4-2									
BARRA	TENSÃO	DELTIA	NW	MVAR	BARRA	NW	MVAR	RVAI	
1	1.1000	0.00	0.00	82.95	3	0.00	82.95	82.95	
2	0.9204	0.00	0.00	-200.00	3	0.00	0.00	0.00	
					20	0.00	-220.41	220.41	
					3	0.00	14.22	14.22	
					3	0.00	6.12	6.12	
					2	0.00	0.00	0.00	
					30	0.00	-164.73	164.73	
					2	0.00	-13.56	13.56	
					2	0.00	-5.81	5.81	
					1	0.00	-65.89	65.89	
20	1.1000	0.00	0.00	263.43	2	0.00	263.43	263.43	
30	1.1000	0.00	0.00	207.38	3	0.00	207.38	207.38	

*** LIGA04EN 3.1.4-2 ***

3.2 Modelagem de elemento "shunt" externo

Em equivalentes do tipo Ward, a representação dos elementos "shunt" do sistema externo é uma questão essencial e que apresenta vários problemas. Tinney reporta que após o processo de redução podem aparecer valores anormais nas admitâncias equivalentes. Deckmann [9] apresenta uma análise dos problemas oriundos da representação dos "shunts", analisa as alternativas de modelagem, e mostra como o equivalente WE resolve estes problemas. Neste item demonstra-se que o modelo WE ainda apresenta deficiências na modelagem dos elementos "shunts". Apresenta-se um novo enfoque à essa questão e mostra-se como as deficiências do WE podem ser resolvidas.

É importante observar que nos artigos que descrevem testes em equivalentes [13] a rede externa no caso completo é representada como cargas ativas e reativas que independem da tensão. Nestes artigos os "shunts" são devidos exclusivamente às susceptâncias capacitivas das linhas e aos reatores de compensação "shunt". Este fato minimiza a importância pois não aparecem no sistema completo, os "shunts" devido às cargas do sistema. A tabela 3.2 - 1 mostra a característica das cargas do sistema norte/nordeste. Observa-se que a carga reativa é constituída de 100% $Z = \text{cte}$, e a carga ativa é em grande parte 50% $Z = \text{cte}$.

PODELAGEM DA CARGA EM FUNÇÃO DA TENSÃO

ÁREA	CARGA ATIVA	CARGA REATIVA
CENTRO	70% Z + 30% P	100% Z
SUL	50% Z + 50% P	100% Z
LESTE	50% Z + 50% P	100% Z
NORTE	60% Z + 40% P	100% Z
OESTE	50% Z + 50% P	100% Z
MARANHÃO	70% Z + 30% P	100% Z
TUCURUÍ	60% Z + 40% P	100% Z
BELÉM	60% Z + 40% P	100% Z

TABELA 3.2 - 1

3.2.1 "Shunt" em sistema radial

Considerar-se, neste item, que o sistema externo é constituído de barras PV, barras PQ (sem cargas não lineares) e elementos "shunt" como mostrado na Figura 3.2.1-1:

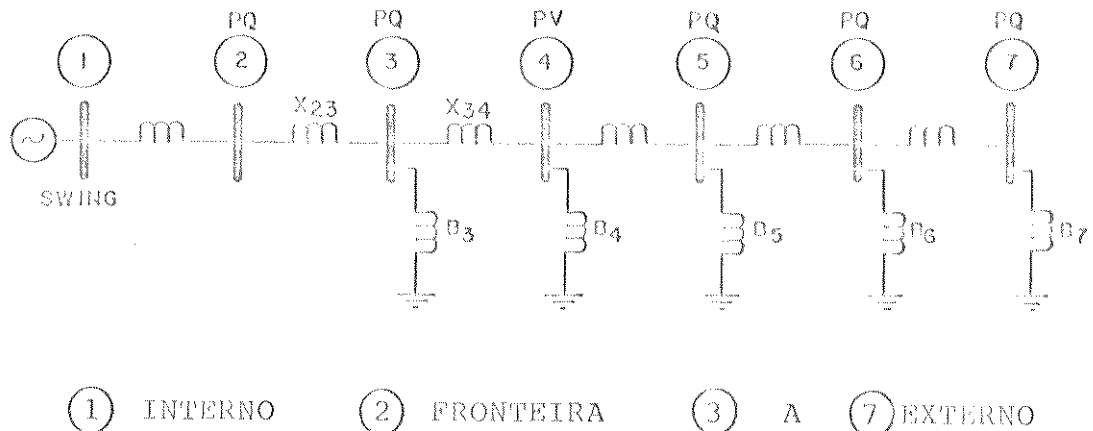


Figura 3.2.1-1

Este sistema é utilizado [9] para ilustrar os problemas decorrentes da eliminação dos "shunts" externos. Como a barra 4 é PV, os "shunts" B_4 , B_5 , B_6 e B_7 estão isolados (do ponto de vista reativo) da fronteira. Pode-se, portanto, reduzir o sistema de interesse para o sistema (a) na Figura 3.2.1-2.

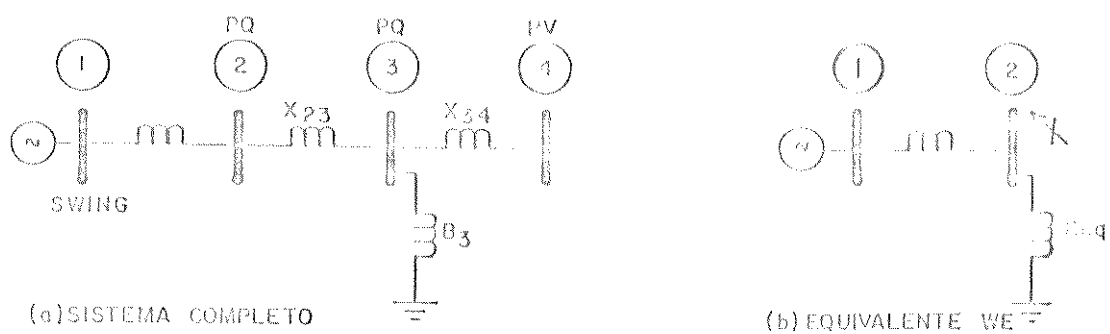


Figura 3.2.1-2

Na parte (b) da Figura 3.2.1-2 temos o equivalente WE, o equivalente WE o "shunt" é calculado da seguinte forma:

- i) Aterra-se a barra 4 (PV);
 - ii) Reduz-se a barra 3;
 - iii) Divide-se a susceptância "shunt" que aparece na barra 2 por um fator 2.

Com estas operações (sendo x_{3S} a reatância do "shunt" B_3) a reatância "shunt" equivalente vale:

$$x_{2\text{eq}} = \frac{2}{x_{23} + (x_{3S} // x_{34})} = \frac{2x_{23} + 2(x_{3S} x_{34}) / (x_{3S} + x_{34})}{x_{23} + x_{3S} + x_{34}} \quad (3.19)$$

Como se está interessado na reação do "shunt", supõe-se, por enquanto, que a PV está eletricamente afastada da barra 3. Esta situação está mostrada na parte (a) da Figura 3.2.1-3

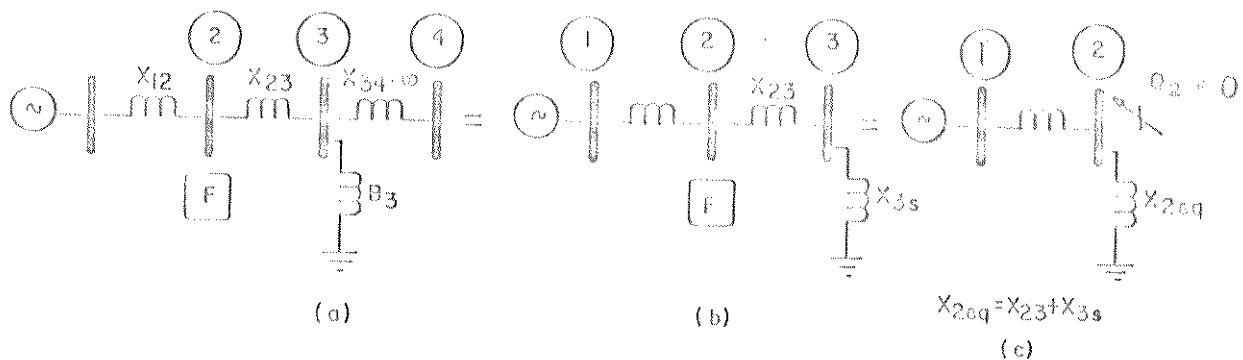


Figura 3.2.1-3

É evidente que quando a barra PV está muito afastada (isto é $x_{34} \rightarrow \infty$) o "shunt" que a barra fronteira vê no sistema externo é $x_{2eq} = x_{23} + x_{3s}$, conforme mostrado na parte (c) da figura 3.2.1-3. O "shunt" equivalente obtido pelo modelo WE quando $x_{34} \rightarrow \infty$ na equação 3.19, vale $x_{2eq} = 2x_{23} + 2x_{3s}$. O que demonstra, neste caso limite, que existe uma diferença de 100% entre o valor correto e o "shunt" calculado pelo WE.

- Considere-se a forma como o equivalente WRE modela os "shunts" do sistema externo. O algoritmo apresentado em 3.1.4 fica exatamente o mesmo, apenas, com a seguinte observação: Após a redução de todas as barras PQ do sistema externo, o "shunt" que aparece na fronteira, é o "shunt" equivalente. Os "shunts" que aparecem nas barras PV's após a eliminação das barras PQ's externas devem ser desconsiderados. Observe que com este procedimento a eliminação da barra 3 na Figura 3.2.1-3 produz um "shunt" na barra 2 dado por:

$$x_{2eq} = x_{23} + x_{3s} + x_{23} x_{3s} / x_{34}$$

quando $x_{34} \rightarrow \infty$ resulta

$$x_{2eq} = x_{23} + x_{3s}$$

Este "shunt" é exatamente o valor correto dado na parte (c) da Figura 3.2.1-3. Observe-se o exemplo da Figura 3.2.1-4.

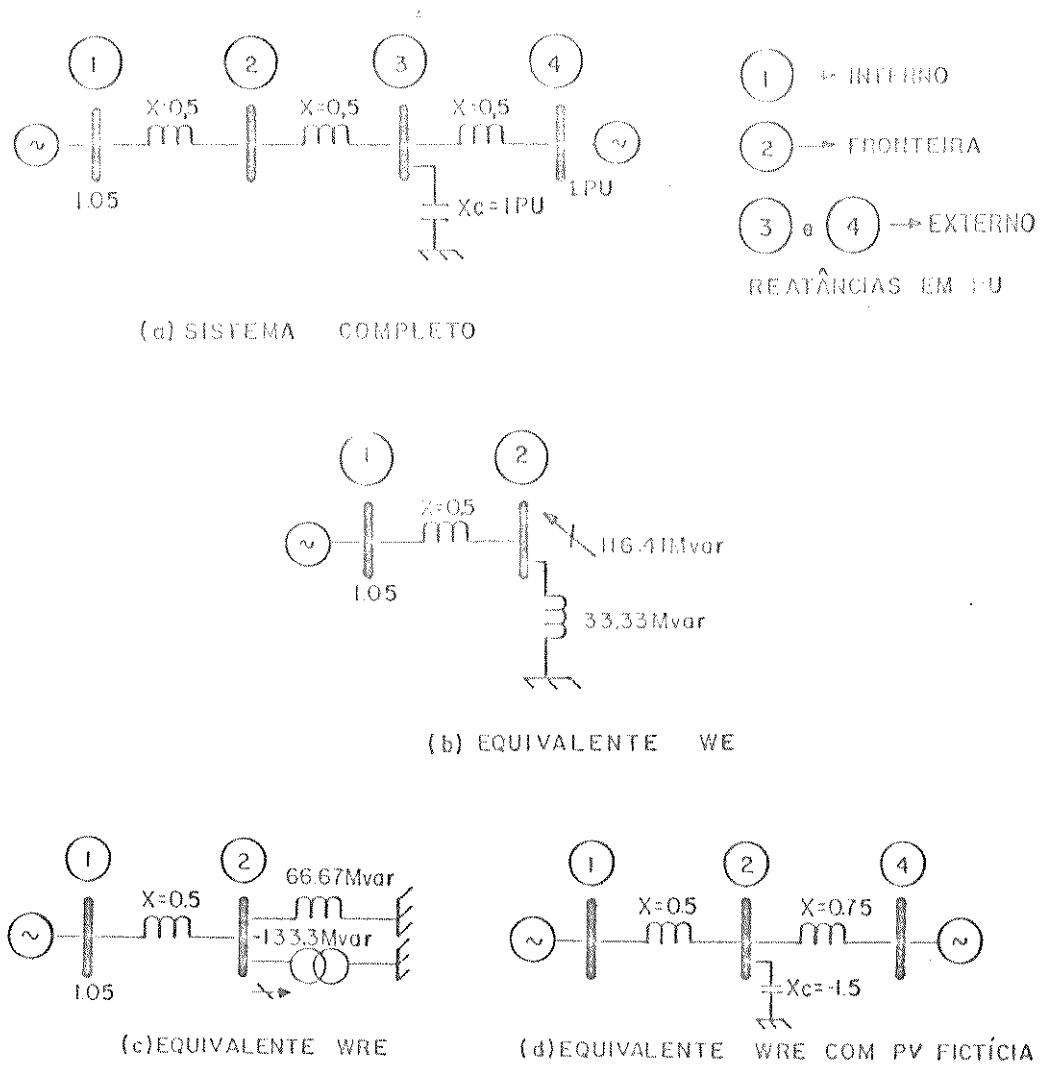


Figura 3.2.1-4

A tabela seguinte mostra o resultado de uma contingência de ~ 34,5% na tensão da barra de referência 1.

VARIÁVEIS		v_1	v_2	θ_{21}	θ_{61}
CASO	BÁSE	1,050	1,2875	61,16	-49,87
CASO	COMPLETO	0,705	1,0287	66,61	-45,65
PERTURBADO	WE	0,705	1,074	78,21	-51,52
	WRE	0,705	1,0287	66,61	-45,65

Os resultados obtidos revelam que o equivalente WRE reproduz exatamente a resposta reativa do sistema externo, constituído, neste caso, de barra PV e "shunt". Testes realizados com "shunts" indutivos em sistemas radiais mostram que o equivalente WRE continua exato. É importante verificar que o equivalente WRE com PV fictícia, mostrado na parte (d) da Figura 3.2.1-4, é o próprio sistema completo com a barra 3 eliminada.

3.2.2 "Shunt" em sistema malhado

Os "shunts" do sistema externo podem ser particionados em dois conjuntos: 1) Conjunto dos "shunts" não isolados das barras de fronteira sob o aspecto reativo; 2) conjunto dos

"shunts" isolados das barras de fronteira sob o aspecto reativo. Dentro da formulação do WRE o primeiro conjunto afeta os "shunts" equivalentes e as linhas equivalentes. O segundo conjunto, por outro lado, só afeta as linhas tipo "só p". Tudo pode ser visualizado na Figura 3.2.2-1, onde o "shunt" Z_a pertence ao primeiro conjunto e Z_b ao segundo.

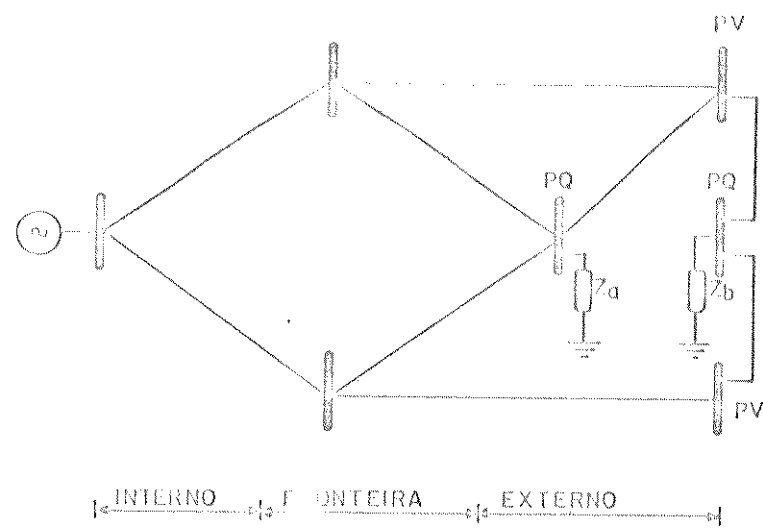


Figura 3.2.2-1

Vejamos como um "shunt" do primeiro conjunto afeta a ligação equivalente. Seja o sistema da Figura 3.2.2-2

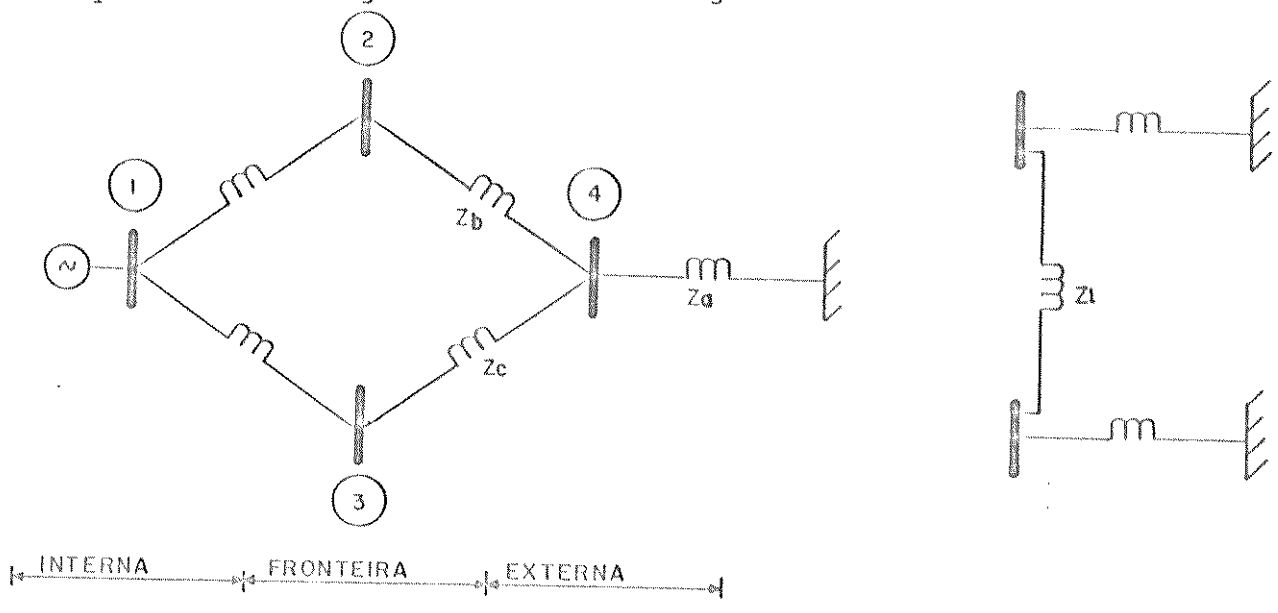
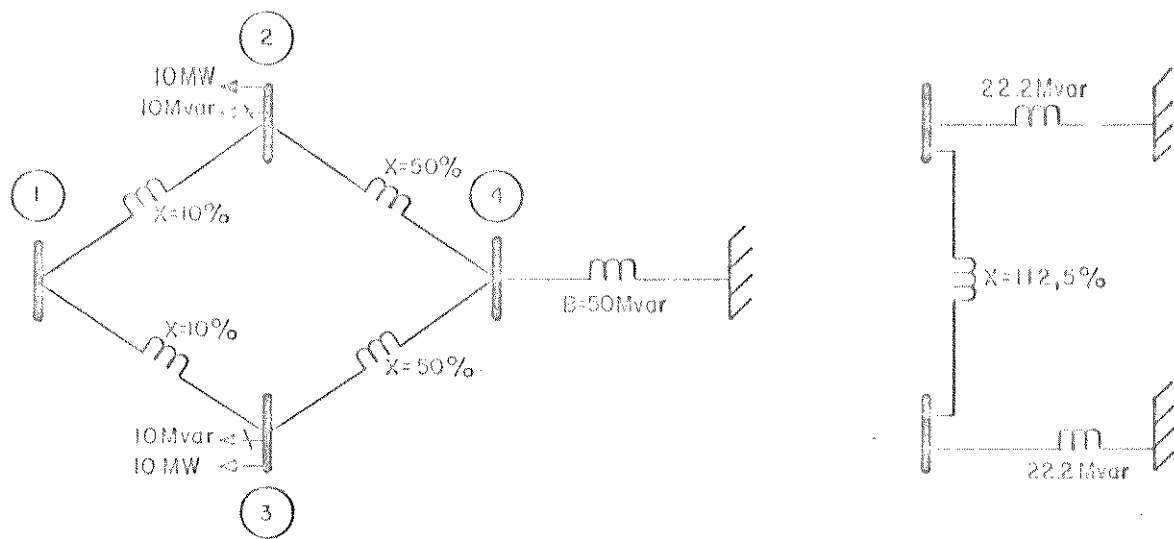


Figura 3.2.2-2

A ligação equivalente Z_1 é perturbada por Z_a de acordo com:

$$Z_1 = Z_b + Z_c + (Z_b Z_c) / Z_a \quad (3.20)$$

Através de um teste pode-se verificar se a equação (3.20) introduz erro na linha equivalente. O caso base e o equivalente estão mostradas na Figura 3.2.2-3.



Caso Base

Figura 3.2.2-3

A tabela seguinte mostra os resultados obtidos. A perturbação considerada foi a perda da linha entre as barras 1 e 2.

VARIÁVEIS	v_1	v_2	v_3	θ_2°	θ_3°	Q_{31}	Q_{G1}
CASO BASE	1,100	1,067	1,067	-0,5	-0,5	-35,3	73,0
CASO COMPLETO	1,100	0,687	1,035	-10,1	-1,0	-66,7	71,3
PERTURBADO	WRE						
		1,100	0,687	1,035	-10,1	-1,0	-66,7

Observa-se, pela análise dos resultados, que a eliminação do "shunt" não introduz erros, nem na parte reativa, nem na parte ativa do equivalente. O equivalente WRE, ao não modelar corretamente os elementos "shunts" externos nas ligações equivalentes introduz um erro na reação reativa (e também ativa) do equivalente.

O próximo teste visa mostrar que o equivalente WRE modela exatamente os "shunts" do sistema externo, mesmo na presença de barras PV. A Figura 3.2.2-4 mostra a configuração do caso base do sistema completo e dos equivalentes WRE e WE.

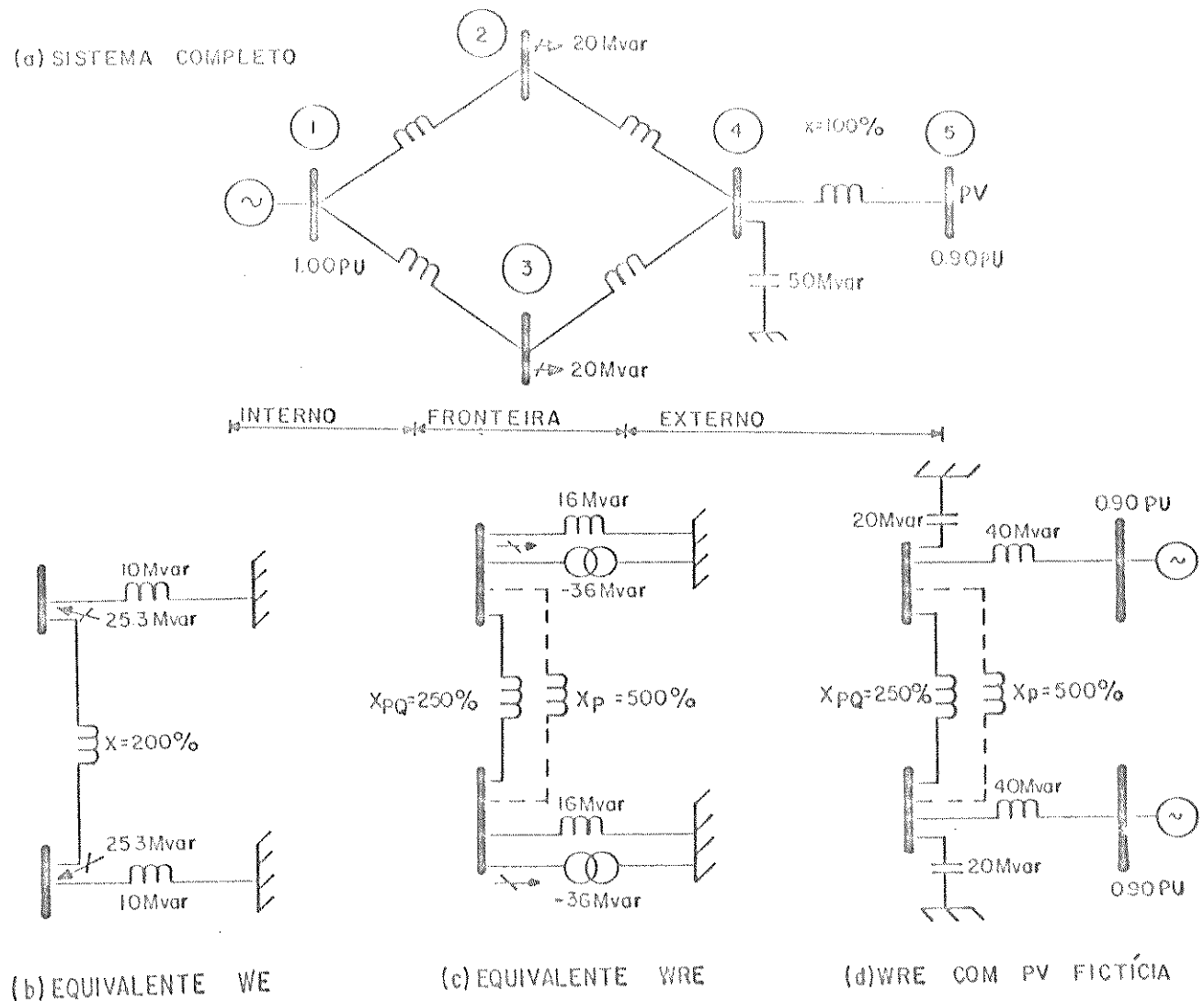


Figura 3.2.2-4

Os resultados para a contingência de perda da linha entre as barras 1 e 2, são mostrados na tabela abaixo:

VARIÁVEIS		v_1	v_2	v_3	Q_{31}	Q_{11}
CASO	BASE	1,000	0,960	0,960	-3,9	8,1
CASO	COMPLETO	1,000	0,771	0,904	-8,6	9,6
PERTURBADO	WE	1,000	0,880	0,936	-6,0	6,4
	WRE	1,000	0,771	0,904	-8,6	9,6

Os resultados mostram que a reação reativa do sistema externo é modelada exatamente pelo WRE. Observa-se que, embora o exemplo seja em um sistema externo simples, a conclusão é geral pois se houvesse "shunts" não vistos (sob a ótica de Mvar) pela fronteira eles só iriam afetar o valor das linhas "só p".

3.3 Considerações adicionais sobre a modelagem de "shunt" e barras PV

As equações (3.16), (3.17) e (3.18) podem ser interpretadas como uma transformação de "shunts" em barras PV e vice-versa. Neste item explora-se este aspecto. Mostra-se que dado um sistema externo com "shunts" e barras PV, é possível

obter um sistema que não tenha "shunt" ou que não tenha barras PV. O caso de "shunt" resistivo será analisado no item 3.5.

3.3.1 Transformação do "shunt" em PV Equivalente

Considere-se o sistema simples mostrado na Fig. 3.3.1-1

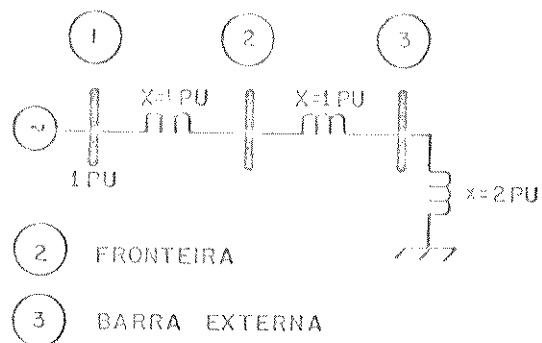


Figura 3.3.1-1

O sistema externo é trivial e é evidente que a barra 3 pode ser eliminada fornecendo um "shunt" na fronteira de 33.3 Mvar (ou $x_{2s} = 3$ PU). Notamos que o "shunt" na barra 3 pode, alternativamente, sofrer a transformação descrita na Fig. 3.3.1-2.

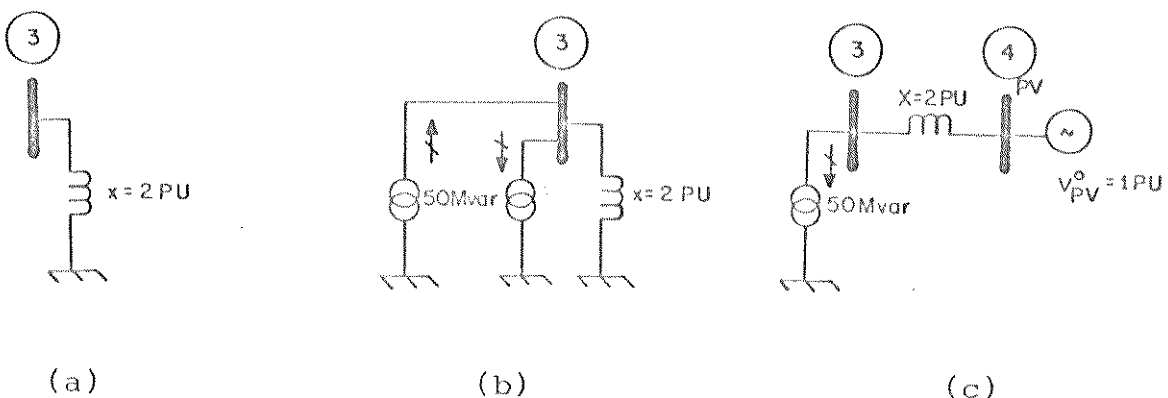
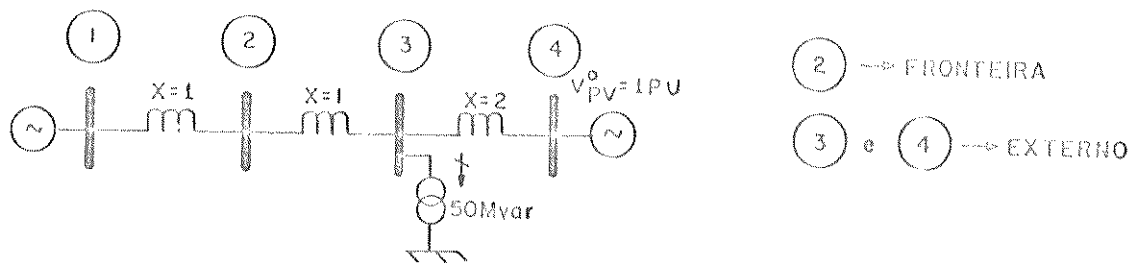


Figura 3.3.1-2

A sequência na Fig. 3.3.1-2 é a seguinte:

- i) Somar e subtrair à barra 3 uma carga reativa tipo T de 50 Mvar (na tensão de 1 PU).
- ii) Interpretar o par "shunt" e carga negativa como o equivalente de uma barra PV, radialmente conectada com a barra 3. A reatância de ligação é $x = 2$ PU (50 Mvar) e a tensão é 1 PU, de acordo com o item 3.1.3.

O sistema da Figura 3.3.1-1, após as transformações consideradas, fica com a configuração mostrada na Figura 3.3.1-3. Observa-se que nesse equivalente criou-se uma barra PV adicional, numa transformação inversa à descrita no item 3.1.1.



SISTEMA EXTERNO SEM "SHUNT"

Figura 3.3.1-3

A tabela seguinte mostra uma comparação do sistema externo com "shunt" (Fig. 3.3.1-1) e sem "shunt" (Fig. 3.3.1-3). A contingência considerada foi uma variação de + 30% na tensão da barra de referência 1. Como pode-se verificar, os resultados são idênticos.

VARIÁVEIS	v_1	v_2	v_3	v_4	θ_{21}	θ_{23}	θ_{G1}
CASO BASE	1,000	0,750	0,500	-	-18,7	18,7	25
COM SHUNT	1,300	0,975	0,650	-	-31,7	31,7	42,5
PERTURBADO SEM SHUNT	1,300	0,975	0,650	1,000	-31,7	31,7	42,2

Tensões em PU e Reativos em Mvar

Seja outro exemplo como o sistema mostrado na Fig. 3.3.1-4

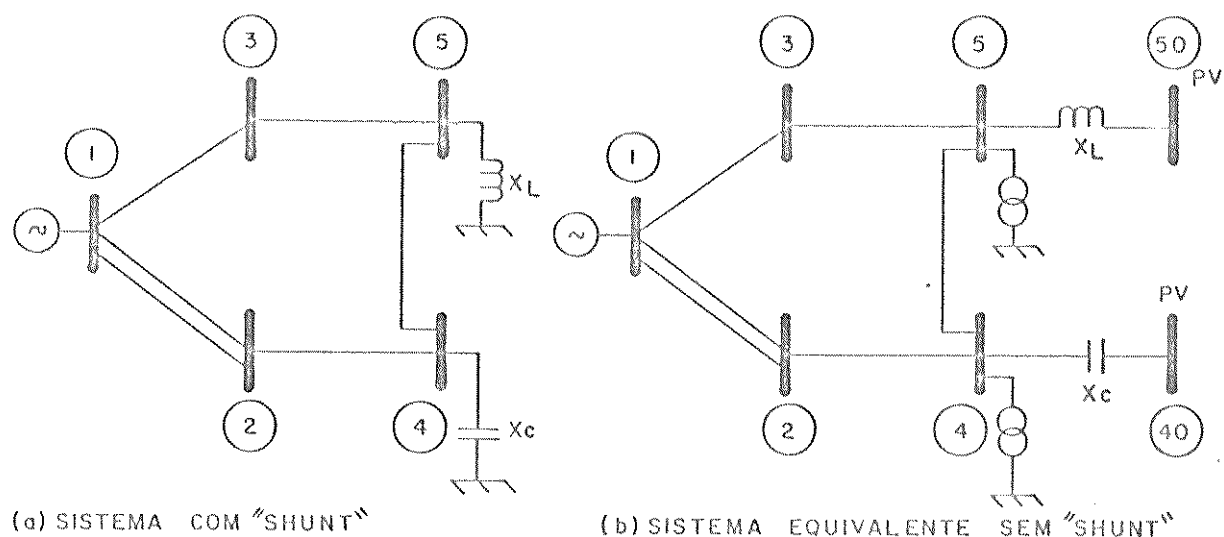


Fig. 3.3.1-4

A Listagem 3.3.1-1 mostra os dados de barra e de linha do sistema com "shunt" (parte (a) da Fig. 3.3.1-4).

A Listagem 3.3.1-2 apresenta o estudo do caso base do sistema com "shunt". Na Listagem 3.3.1-3 inclui-se o estudo do sistema com "shunt", considerando uma contingência de perda da linha entre as barras 1 e 3. A contingência considerada é bastante severa, e a tensão da barra 3 cai para 0,604 pu. As Listagens 3.3.1-4 e 3.3.1-5 mostram, respectivamente, os dados de entrada (barras e linhas) e o estado do sistema equivalente sem "shunt" (parte (b) da Fig. 3.3.1-4). Notar a reatância negativa entre as barras 4 e 40 e o modelo de carga para as barras 4 e 5. Comparando as Listagens 3.3.1-5 e 3.3.1-2 observa-se que os casos básicos estão perfeitamente ajustados. A Listagem 3.3.1-6 mostra o estado do sistema equivalente sem "shunt" para a mesma contingência. Novamente observa-se que a resposta incremental do sistema com e sem "shunt" é idêntica.

A transformação de "shunt" em barra PV, aqui apresentada, pode ser aplicada a qualquer elemento "shunt" reativo (reator ou capacitor), em qualquer sistema. Isto é conceitualmente importante, pois mostra que os elementos "shunt" do sistema externo podem ser transformados em elementos série combinados com barras PV e cargas reativas. Portanto todo o problema de modelar os elementos "shunt" pode ser encarado como um problema de modelar barras PV e cargas reativas. Assim os problemas descritos por Deckmann [13] e Tinney [20] relativos a elementos "shunt" em equivalentes tipo WARD podem ser resolvidos, em face da transformação aqui descrita.

*** TESTE TRANS. SHUNT EM PU. BASE ***
CÁSO BASE

DADOS DE LINHA E TRANSFORMADOR

X-DÁ BARRA	P/ BARRA	RESIST CIRC (%)	REATEN (%)	SUSCEP (HVAR)	T ÁP MÍR	ESPEC	BASE	CARGA COMPLETA (HVAR)
1	0	0	10.00	50.00	0	0	0	0
4	22.0	0	10.00	50.00	0	0	0	0
4	44.0	0	10.00	50.00	0	0	0	0
4	55.0	0	10.00	50.00	0	0	0	0
3	0	0	10.00	50.00	0	0	0	0

*** TESTE TRANS. SHUNT EM PU. BASE ***
CÁSO BASE

DADOS DE BARRA

X-NUM.	BARRA NOME	TP. AR CONT.	BARRA TENSÃO MUD	L/T BARRA	GEN. MUD	GEN. MUD	GEN. MUD	CARGA MUD	CARGA MUD	CARGA MUD
1	0	0	0	0	0	0	0	0	0	0
2	0	0	0	0	0	0	0	0	0	0
3	0	0	0	0	0	0	0	0	0	0
4	0	0	0	0	0	0	0	0	0	0
5	0	0	0	0	0	0	0	0	0	0

DADOS DE BARRA E LINHA DO SISTEMA COMPLETO CON SHUNT

LISTAGEM 3.3.1-1

新嘉坡總理辦事處
新嘉坡總理辦事處

RELATORIO CONCERNTE AO SISTEMA DE ARRECIA E SUA RELAÇÃO

ESTADO DO SISTEMA COMPLETO COM SHUNT

LISTAGEN 3.3.1-2

SEGUÍ A LINHA ENTRE 1-3. ESTAMOS

MANUAL DE INSTRUÇÕES DO SISTEMA DE REGULADOR COMPLETO DO SISTEMA DE

X-BARRA	NUM-TIPO	NAME	DÂO-D TENSAO	GERACAO	BARRA	SHUNT	TRUQUO	PARA SHUNT	FLUXOS	FLUXO S		
										ANG	HUVAR	HUVAR
BARRA 1	4	2	1.000	33.5	0.0	0.0	0.0	0.0	0.0	-45.0	-45.0	-45.0
BARRA 2	2	0	0.929	0.0	1.000	0.0	0.0	0.0	0.0	-45.0	-45.0	-45.0
BARRA 3	0	0	0.604	0.0	45.0	0.0	0.0	0.0	0.0	-45.0	-45.0	-45.0
BARRA 4	5C	0	0.838	0.0	5.0	0.0	14.0	0.0	0.0	-21.0	-21.0	-21.0
BARRA 5	SI	0	0.680	0.0	0.0	0.0	0.0	0.0	0.0	-45.0	-45.0	-45.0

ESTADO DO SISTEMA COMPLETO COM SHUNT. CONSIDERANDO A CONTINGÊNCIA

DE PERDA DA LINHA ENTRE AS BARRAS 1 E 3.

TITSTAGEN 3.3.1-3

*** TESTE TRANS. SHUNT EM PU. *** BASE SEN SHUNT

CASO BASE

DADOS DE LINHA E TRANSFORMADOR

X--	BARRA P/ BARRA BARRA	RESIST (%)	REATIVA (%)	SUSCETP (MVA)	TYP	MIN	MAX	DEP. %	CAPAC (%)
1	0	10.00	50.00	0.00	0.00	0.00	0.00	0.00	0.00
2	0	10.00	50.00	0.00	0.00	0.00	0.00	0.00	0.00
3	0	10.00	50.00	0.00	0.00	0.00	0.00	0.00	0.00
4	0	10.00	50.00	0.00	0.00	0.00	0.00	0.00	0.00
5	0	10.00	50.00	0.00	0.00	0.00	0.00	0.00	0.00
6	0	10.00	50.00	0.00	0.00	0.00	0.00	0.00	0.00
7	0	10.00	50.00	0.00	0.00	0.00	0.00	0.00	0.00
8	0	10.00	50.00	0.00	0.00	0.00	0.00	0.00	0.00
9	0	10.00	50.00	0.00	0.00	0.00	0.00	0.00	0.00
10	0	10.00	50.00	0.00	0.00	0.00	0.00	0.00	0.00
11	0	10.00	50.00	0.00	0.00	0.00	0.00	0.00	0.00
12	0	10.00	50.00	0.00	0.00	0.00	0.00	0.00	0.00
13	0	10.00	50.00	0.00	0.00	0.00	0.00	0.00	0.00
14	0	10.00	50.00	0.00	0.00	0.00	0.00	0.00	0.00
15	0	10.00	50.00	0.00	0.00	0.00	0.00	0.00	0.00
16	0	10.00	50.00	0.00	0.00	0.00	0.00	0.00	0.00
17	0	10.00	50.00	0.00	0.00	0.00	0.00	0.00	0.00
18	0	10.00	50.00	0.00	0.00	0.00	0.00	0.00	0.00
19	0	10.00	50.00	0.00	0.00	0.00	0.00	0.00	0.00
20	0	10.00	50.00	0.00	0.00	0.00	0.00	0.00	0.00
21	0	10.00	50.00	0.00	0.00	0.00	0.00	0.00	0.00
22	0	10.00	50.00	0.00	0.00	0.00	0.00	0.00	0.00
23	0	10.00	50.00	0.00	0.00	0.00	0.00	0.00	0.00
24	0	10.00	50.00	0.00	0.00	0.00	0.00	0.00	0.00
25	0	10.00	50.00	0.00	0.00	0.00	0.00	0.00	0.00
26	0	10.00	50.00	0.00	0.00	0.00	0.00	0.00	0.00
27	0	10.00	50.00	0.00	0.00	0.00	0.00	0.00	0.00
28	0	10.00	50.00	0.00	0.00	0.00	0.00	0.00	0.00
29	0	10.00	50.00	0.00	0.00	0.00	0.00	0.00	0.00
30	0	10.00	50.00	0.00	0.00	0.00	0.00	0.00	0.00
31	0	10.00	50.00	0.00	0.00	0.00	0.00	0.00	0.00
32	0	10.00	50.00	0.00	0.00	0.00	0.00	0.00	0.00
33	0	10.00	50.00	0.00	0.00	0.00	0.00	0.00	0.00
34	0	10.00	50.00	0.00	0.00	0.00	0.00	0.00	0.00
35	0	10.00	50.00	0.00	0.00	0.00	0.00	0.00	0.00
36	0	10.00	50.00	0.00	0.00	0.00	0.00	0.00	0.00
37	0	10.00	50.00	0.00	0.00	0.00	0.00	0.00	0.00
38	0	10.00	50.00	0.00	0.00	0.00	0.00	0.00	0.00
39	0	10.00	50.00	0.00	0.00	0.00	0.00	0.00	0.00
40	0	10.00	50.00	0.00	0.00	0.00	0.00	0.00	0.00
41	0	10.00	50.00	0.00	0.00	0.00	0.00	0.00	0.00
42	0	10.00	50.00	0.00	0.00	0.00	0.00	0.00	0.00
43	0	10.00	50.00	0.00	0.00	0.00	0.00	0.00	0.00
44	0	10.00	50.00	0.00	0.00	0.00	0.00	0.00	0.00
45	0	10.00	50.00	0.00	0.00	0.00	0.00	0.00	0.00
46	0	10.00	50.00	0.00	0.00	0.00	0.00	0.00	0.00
47	0	10.00	50.00	0.00	0.00	0.00	0.00	0.00	0.00
48	0	10.00	50.00	0.00	0.00	0.00	0.00	0.00	0.00
49	0	10.00	50.00	0.00	0.00	0.00	0.00	0.00	0.00
50	0	10.00	50.00	0.00	0.00	0.00	0.00	0.00	0.00

*** TESTE TRANS. SHUNT EM PU. *** BASE SEN SHUNT

CASO BASE

DADOS DE BARRA

X--	BARRA NÚM.	TENSÃO MOD. V	GER. MÉD.	LT. GER.	MIN.	MAX.	CARGA MÉDIA	CARGA MÁX.
1	BARRA 1	2.4	0.1000	0.00	0.00	-0.7070	0.00	0.00
2	BARRA 2	0.4	0.1000	0.00	0.00	0.00	0.00	0.00
3	BARRA 3	0.4	0.1000	0.00	0.00	0.00	0.00	0.00
4	BARRA 4	0.4	0.1000	0.00	0.00	0.00	0.00	0.00
5	BARRA 5	0.4	0.1000	0.00	0.00	0.00	0.00	0.00
6	BARRA 6	0.4	0.1000	0.00	0.00	0.00	0.00	0.00
7	BARRA 7	0.4	0.1000	0.00	0.00	0.00	0.00	0.00
8	BARRA 8	0.4	0.1000	0.00	0.00	0.00	0.00	0.00
9	BARRA 9	0.4	0.1000	0.00	0.00	0.00	0.00	0.00
10	BARRA 10	0.4	0.1000	0.00	0.00	0.00	0.00	0.00
11	BARRA 11	0.4	0.1000	0.00	0.00	0.00	0.00	0.00
12	BARRA 12	0.4	0.1000	0.00	0.00	0.00	0.00	0.00
13	BARRA 13	0.4	0.1000	0.00	0.00	0.00	0.00	0.00
14	BARRA 14	0.4	0.1000	0.00	0.00	0.00	0.00	0.00
15	BARRA 15	0.4	0.1000	0.00	0.00	0.00	0.00	0.00
16	BARRA 16	0.4	0.1000	0.00	0.00	0.00	0.00	0.00
17	BARRA 17	0.4	0.1000	0.00	0.00	0.00	0.00	0.00
18	BARRA 18	0.4	0.1000	0.00	0.00	0.00	0.00	0.00
19	BARRA 19	0.4	0.1000	0.00	0.00	0.00	0.00	0.00
20	BARRA 20	0.4	0.1000	0.00	0.00	0.00	0.00	0.00
21	BARRA 21	0.4	0.1000	0.00	0.00	0.00	0.00	0.00
22	BARRA 22	0.4	0.1000	0.00	0.00	0.00	0.00	0.00
23	BARRA 23	0.4	0.1000	0.00	0.00	0.00	0.00	0.00
24	BARRA 24	0.4	0.1000	0.00	0.00	0.00	0.00	0.00
25	BARRA 25	0.4	0.1000	0.00	0.00	0.00	0.00	0.00
26	BARRA 26	0.4	0.1000	0.00	0.00	0.00	0.00	0.00
27	BARRA 27	0.4	0.1000	0.00	0.00	0.00	0.00	0.00
28	BARRA 28	0.4	0.1000	0.00	0.00	0.00	0.00	0.00
29	BARRA 29	0.4	0.1000	0.00	0.00	0.00	0.00	0.00
30	BARRA 30	0.4	0.1000	0.00	0.00	0.00	0.00	0.00
31	BARRA 31	0.4	0.1000	0.00	0.00	0.00	0.00	0.00
32	BARRA 32	0.4	0.1000	0.00	0.00	0.00	0.00	0.00
33	BARRA 33	0.4	0.1000	0.00	0.00	0.00	0.00	0.00
34	BARRA 34	0.4	0.1000	0.00	0.00	0.00	0.00	0.00
35	BARRA 35	0.4	0.1000	0.00	0.00	0.00	0.00	0.00
36	BARRA 36	0.4	0.1000	0.00	0.00	0.00	0.00	0.00
37	BARRA 37	0.4	0.1000	0.00	0.00	0.00	0.00	0.00
38	BARRA 38	0.4	0.1000	0.00	0.00	0.00	0.00	0.00
39	BARRA 39	0.4	0.1000	0.00	0.00	0.00	0.00	0.00
40	BARRA 40	0.4	0.1000	0.00	0.00	0.00	0.00	0.00
41	BARRA 41	0.4	0.1000	0.00	0.00	0.00	0.00	0.00
42	BARRA 42	0.4	0.1000	0.00	0.00	0.00	0.00	0.00
43	BARRA 43	0.4	0.1000	0.00	0.00	0.00	0.00	0.00
44	BARRA 44	0.4	0.1000	0.00	0.00	0.00	0.00	0.00
45	BARRA 45	0.4	0.1000	0.00	0.00	0.00	0.00	0.00
46	BARRA 46	0.4	0.1000	0.00	0.00	0.00	0.00	0.00
47	BARRA 47	0.4	0.1000	0.00	0.00	0.00	0.00	0.00
48	BARRA 48	0.4	0.1000	0.00	0.00	0.00	0.00	0.00
49	BARRA 49	0.4	0.1000	0.00	0.00	0.00	0.00	0.00
50	BARRA 50	0.4	0.1000	0.00	0.00	0.00	0.00	0.00

DADOS DE BARRA DE CARGAS

X--	BARRA NÚM.	MÓDULO DE CARGA (%)	REAL (%)	IMAG (%)
4	0	0	100	0
5	0	0	100	0

LITSTAGEN 5.3.1-2

ANALISE TESTE TRANS. SHUNT EM PQ. SEM BASE SEM SHUNT
CASO BASE

		TESTE TRANS. SHUNT EM PQ.		SEM BASE SEM SHUNT		TESTE TRANS.	
		AREAS		AREAS		AREAS	
RELATORIO COMPLETO DO SISTEMA		GERACAO		GERACAO		GERACAO	
DATA	BARRA	TENSAO	GERACAO	TENSAO	GERACAO	TENSAO	GERACAO
NOM.	TIPO	ANG.	NOM.	ANG.	NOM.	ANG.	NOM.
BARRA 1	2	4.000	30.7	0.0	0.0	0.0	0.0
BARRA 2	0	0.989	0.0	1.0	0.0	0.0	0.0
BARRA 3	0	0.941	0.0	1.0	0.0	0.0	0.0
BARRA 4	0	4.006	0.0	5.0	0.0	0.0	0.0
BARRA 5	0	0.927	0.0	1.0	0.0	0.0	0.0
BARRA 6	4	4.004	0.0	0.1	0.0	0.0	0.0
BARRA 7	0	4.002	0.0	-2.0	0.0	0.0	0.0
BARRA 8	5	0.925	0.0	1.0	0.0	0.0	0.0
BARRA 9	4	4.000	0.0	0.1	0.0	0.0	0.0
BARRA 10	4	4.000	0.0	0.1	0.0	0.0	0.0
BARRA 11	4	4.000	0.0	1.0	0.0	0.0	0.0
BARRA 12	5	4.000	0.0	1.0	0.0	0.0	0.0

ESTADO DO SISTEMA EQUIVALENTE SEM SEU NT

LJ STAGEM 3.3.1-5

英美系 TESTE TRADING SHUNT E首 PU。 美英 SHUNT 美英 SHUNT LITHEEN LITHEEN 聚丙烯

ESTADO DO SISTEMA EQUIVALENTE SEM SHUNT CONSIDERANDO A CONTINGÊNCIA DE PERDA DA LINHA ENTRE A

CRA
BRA

3.3.2 Transformação de barra PV em PQ equivalente

A Figura 3.3.2-1 ilustra a ideia básica desta transformação.

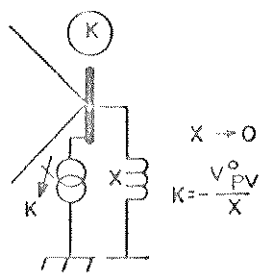


Sistema original com barra PV

(a)

O efeito PV é transferido para a barra m, que se liga com K através de uma reatância X "desprezível" ($X \rightarrow 0$).

(b)



O efeito da barra PV é transformado em "shunt" equivalente

(c)

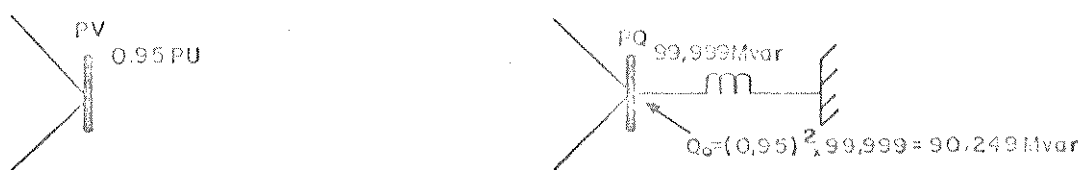
Com B "muito grande" a carga $I = \text{cte}$ pode ser substituída por uma injeção reativa fixa

(d)

Figura 3.3.2-1

Como se pode ver na parte (b) da Fig. 3.3.2-1 a idéia consiste em transferir o efeito PV para uma outra barra através de uma reatância desprezível. Se tomarmos $x = 10^{-3}$ pu a transformação será praticamente exata, considerando as redes normalmente utilizadas em estudos de fluxo de carga. Observa-se que a passagem de (b) para (c) é exata, conforme já visto no item 3.2 (equações (3.14) e (3.15)). Como a barra PQ está praticamente aterrada, a carga $I = \text{cte}$ pode ser considerada como uma injeção fixa de reativos.

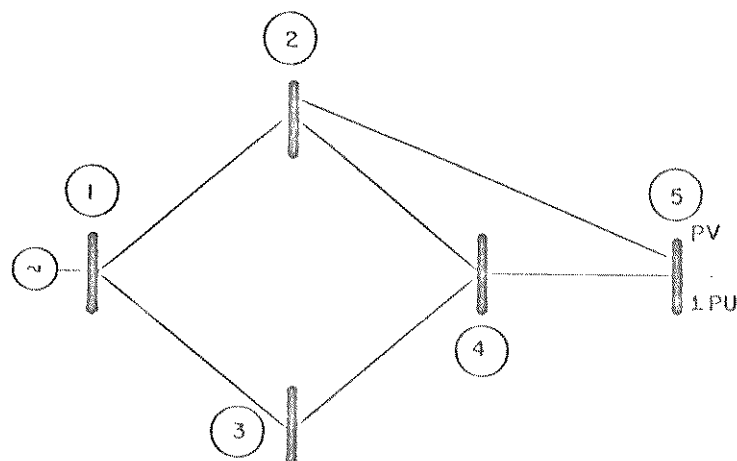
A Fig. 3.3.2-2 ilustra numericamente essa transformação:



Transformação PV em PQ equivalente

Figura 3.3.2-2

Para verificar a exatidão da transformação mostrada na Figura 3.3.2-2, considere-se o exemplo apresentado na Figura 3.3.2-3.



Sistema para demonstrar a transformação de barra PV em barra PQ.

Figura 3.3.2-3

As listagens seguintes são apresentadas adiante:

- Listagem 3.3.2-1 Dados de barra e linha do sistema com barra PV.
- Listagem 3.3.2-2 Estado do sistema com barra PV.
- Listagem 3.3.2-3 Estado do sistema com barra PV, considerando a perda da linha 1 - 2.
- Listagem 3.3.2-4 Dados de barra e linha do sistema equivalenciando a barra PV por uma barra PQ com "shunt" de 9.999 Mvar.
- Listagem 3.3.2-5 Estado do sistema equivalente considerando a perda da linha 1 - 2.
- Listagem 3.3.2-6 Estado do sistema equivalente, com "shunt" de 99.999 Mvar, considerando a perda da linha 1-2.

Analizando e comparando as listagens 3.3.2-6 com a 3.3.2-3 verificamos que a reação do sistema equivalente (sem barra PV) é exatamente igual ao sistema com barra PV. É importante observar na listagem 3.3.2-5 que o "shunt" de 9.999 Mvar não é suficientemente grande, pois aparecem pequenos erros.

Uma aplicação prática da transformação aqui apresentada é modelar barras PV em programas que não dispõem de modelagem de barras PV. Basta utilizar a transformação exemplificada na Fig. 3.3.2-2 na entrada de dados para o programa.

Do ponto de vista conceitual esta transformação mostra que é possível gerar um sistema equivalente sem barras PV.

C O M P A N H I A H I D R O E L E T R I C A D O S A O F R A N C I S C O
DIRETORIA DE OPERAÇÃO/DEPARTAMENTO DE MOVIMENTO DE ENERGIA
***** TRANS. DE BARRA PV EM BARRA PU *****
***CHEFE/ESTUDOS DE FLUXO DE CORRENTE DE BARRA**
***ESTUDO DE FUSO/DESESSUAZÃO DE BARRA**
DADOS DE BARRA

	BARRA	TENSÃO	GERACAO	CARGA	TIPO	CTE	MUAR	RT/CP	GESKUNT
NUM.	NAME	PU	MW	MW	MVAR	MVAR	MVAR	MVAR	MVAR
1	BARRA 1	1	0.00	0.00	0.00	0.00	0.00	0.00	0.00
2	BARRA 2	1	0.00	0.00	0.00	0.00	0.00	0.00	0.00
3	BARRA 3	1	0.00	0.00	0.00	0.00	0.00	0.00	0.00
4	BARRA 4	1	0.00	0.00	0.00	0.00	0.00	0.00	0.00
5	BARRA 5	1	0.00	0.00	0.00	0.00	0.00	0.00	0.00
6	GEN 45	PV	*						

CARACTERÍSTICAS DE LA MIGRACIÓN EN EL TÍMEO

LINHAS/TRAPOS	
1	/
2	/
3	/
4	1
5	1
6	1
7	1
8	1
9	1
10	1
11	1
12	1
13	1
14	1
15	1
16	1
17	1
18	1
19	1
20	1
21	1
22	1
23	1
24	1
25	1
26	1
27	1
28	1
29	1
30	1
31	1
32	1
33	1
34	1
35	1
36	1
37	1
38	1
39	1
40	1
41	1
42	1
43	1
44	1
45	1
46	1
47	1
48	1
49	1
50	1
51	1
52	1
53	1
54	1
55	1
56	1
57	1
58	1
59	1
60	1
61	1
62	1
63	1
64	1
65	1
66	1
67	1
68	1
69	1
70	1
71	1
72	1
73	1
74	1
75	1
76	1
77	1
78	1
79	1
80	1
81	1
82	1
83	1
84	1
85	1
86	1
87	1
88	1
89	1
90	1
91	1
92	1
93	1
94	1
95	1
96	1
97	1
98	1
99	1
100	1

```

NUM_BARRAS=5      NUM_LTSTRAFOG=6      MAXITER=99
TOLER=0.00010000  ACI=1.5000000000000000E-001
CONVERGENCIA=0.01000000000000000E+000

```

DADOS DE BARRA E LINHA DO SISTEMA COM BARRA PV

LT STAGE M 3.3.2-1

NUM. BARRA	BARRA NOME	TENSÃO GRAUS	BARRA NOME	TENSÃO GRAUS
1	BARRA 1	100.0	BARRA 2	-10.0
2	BARRA 4	92.6	BARRA 3	-17.4
3	BARRA 6	95.1	BARRA 5	-9.4
4	BARRA 4	95.9	BARRA 5	-9.4
5	BARRA 5	100.0		

LINHAS E TRANSMISSORES DE POTÊNCIA

LINHA/TRAFO	LINHA	FU	GERACAO	PERDA/GER
1 - BARRA 1	2 - BARRA 2	66.9	40.7	0.00
	3 - BARRA 3	65.6	6.2	0.00
2 - BARRA 2	4 - BARRA 4	35.5	35.6	0.00
	4 - BARRA 4	35.4	37.9	0.00
	5 - BARRA 5	35.4	42.0	0.00
3 - BARRA 3	4 - BARRA 4	25.0	25.0	0.00
	4 - BARRA 4	24.9	25.0	0.00
4 - BARRA 4	2 - BARRA 2	5.0	5.0	0.00
	3 - BARRA 3	5.0	5.0	0.00
	5 - BARRA 5	5.0	5.0	0.00
5 - BARRA 5	4 - BARRA 4	7.6	7.6	0.00
	2 - BARRA 2	6.4	6.4	0.00

PERDA TOTAL DO SISTEMA= 2.6 MW 3.6 POR CENTO

ESTADO DO SISTEMA COM BARRA PV

LISAGEM 3.3.2-2

NUM. BARRA	NOME	TENSÃO (%)	GRaus (%)	MVA (%)	PERDA (%)	PERDA (%)
1 - BARRA 1		100.0	0.0	0.0	0.0	0.0
2 - BARRA 2		83.3	-54.2	20.0	30.0	0.0
3 - BARRA 3		84.3	-23.4	20.0	0.0	0.0
4 - BARRA 4		86.7	-42.5	10.0	0.0	0.0
5 - BARRA 5	PV	100.0	-48.6	10.0	59.5	0.0

LINHA/TRAFO	LINHA	AÇÃO	TRAI	TRANSAF	REFL	PERDIDA (%)	PERDIDA (%)	MISMATCH (%)
4 - BARRA 4	3 - BARRA 3		73.0	36.7	79.2	0.0	0.0	0.0
2 - BARRA 2	4 - BARRA 4		28.9	2.8	29.4	0.0	0.0	0.0
	5 - BARRA 5	PV	-24.0	-24.0	24.4	0.0	0.0	0.0
3 - BARRA 3	4 - BARRA 4		-66.7	0.7	66.7	0.0	0.0	0.0
	4 - BARRA 4		46.6	-5.7	47.4	0.0	0.0	0.0
4 - BARRA 4	2 - BARRA 2		30.4	0.0	30.0	0.0	0.0	0.0
	3 - BARRA 3	PV	-43.5	-24.5	28.0	0.0	0.0	0.0
	5 - BARRA 5	PV	-43.5	-24.4	28.0	0.0	0.0	0.0
5 - BARRA 5	PV		42.5	29.7	32.2	0.0	0.0	0.0
	2 - BARRA 2		42.4	29.8	32.3	0.0	0.0	0.0
	4 - BARRA 4		42.5	29.7	32.2	0.0	0.0	0.0
	4 - BARRA 4		42.4	29.8	32.3	0.0	0.0	0.0

ESTADO DO SISTEMA COM BARRA PV, CONSIDERANDO A PERDA DA LINHA 1 - 2.

PERDA TOTAL DO SISTEMA = 43.0 MW 45.7 POR CENTO

COMPANHIA HIDROELETTRICA DO SANTANA
DIRETORIA DE OPERACAO/DEPARTAMENTO DE MOVIMENTO DE ENERGIA
ESTUDO DE FLECHE E EQUILIBRIO DE BARRA PU ESENTE TRANS.

DIRETORIA DE OPERAÇÃO/DEPARTAMENTO DE MOVIMENTO DE ENERGIA
ESTUDO DE FLUXO DE EGO. *SERÁ FEITA PELA EMPRESA LT 1-2
DE BARRA PÓ EM PÓ. *BARRA DE DADOS DE BARRA

CARACTERÍSTICAS DE LINHAS E TRÂNSITO

DADOS DE BARRA E LINHA DO SISTEMA EQUIVALENTE A BARRA PV POR UMA BARRA PQ COM SHUNT DE 9.999Mvar.

卷之三

NUM.	BARRA	BARRAMENTOS	TENSÃO Z GRANDE	CARGA MVA		PERDA / CAR
				MW	MVAR	
1	BARRA 1	100.0	0.0	0.0	0.0	0.0
2	BARRA 2	82.7	-54.5	20.0	34.1	0.0
3	BARRA 3	84.4	-23.4	25.0	34.0	0.0
4	BARRA 4	66.6	-42.7	20.0	34.0	0.0
5	BARRA 5 PQ	99.7	-46.8	40.0	34.0	0.0

LINHA/TRAFO	Linha	Tensão	Fluxo de Carga	Perda		MVA	Mvar	Porcentagem
				MW	Mvar			
1 -BARRA 1	3 -BARRA 3	73.4	34.4	79.4	0.010	0.034		
2 -BARRA 2	4 -BARRA 4 5 -BARRA 5 PQ	86.9 -21.4	22.8 -22.8	29.4 34.0	0.028 -0.007			
3 -BARRA 3	4 -BARRA 4 4 -BARRA 4	66.8 46.8	0.4 -5.4	6.0 47.4	0.044 0.044			
4 -BARRA 4	2 -BARRA 2 3 -BARRA 3 5 -BARRA 5 PQ	30.4 -43.7 13.5	3.0 24.45 -24.45	3.0 43.5 23.0	0.006 -0.006 -0.003			
5 -BARRA 5 PQ	4 -BARRA 4 2 -BARRA 2	42.5 22.5	29.7 29.6	32.9 37.3	-0.048 -0.048	0.005		

ESTADO DO SISTEMA = 13.4 MW 4% POR CENTO

PERDA DA LINHA 1 - 2

LITAGEM 3.3.2-5

NUM.	BARRA / NOME	TENSÃO / GRAUS		BARRAMENTOS	
		MW	MVAR	MW	MVAR
1	BARRA 1	100.0	0.0	0.0	0.0
2	BARRA 2	-54.3	50.0	2.0	0.0
3	BARRA 3	-23.4	25.0	0.0	0.0
4	BARRA 4	-42.5	40.0	0.0	0.0
5	BARRA 5 PQ	100.0	-48.6	0.0	0.0

LINHAS E TRÂNSFERÊNCIAS

LINHA/TRAFO	LINHA S	FLUXO DE POTÊNCIA	LINHA T	FLUXO DE POTÊNCIA	LINHA R
1 - BARRA 4	3 - BARRA 3	73.0	30.7	77.2	0.015
2 - BARRA 2	4 - BARRA 4	-28.9	-2.8	27.4	0.016
	5 - BARRA 5 PQ	-21.4	-22.8	34.4	0.026
3 - BARRA 3	4 - BARRA 4	-66.7	0.0	66.7	0.003
	4 - BARRA 4	46.7	-5.6	47.4	0.006
4 - BARRA 4	2 - BARRA 2	30.4	0.0	30.0	0.003
	3 - BARRA 3 PQ	-43.6	24.3	46.5	0.003
	5 - BARRA 5 PQ	43.5	-24.5	28.0	0.003
5 - BARRA 5 PQ	4 - BARRA 4	-12.5	29.7	32.2	0.071
	2 - BARRA 2	22.4	29.8	37.3	-0.007

PERDA TOTAL DO SISTEMA = 43.1 MW 45.7 POR CENTO

ESTADO DO SISTEMA EQUIVALENTE, COM SHUNT DE 99.999 Mvar,
CONSIDERANDO A PERDA DA LINHA 1 = 2.

LITAGEM 3.3.2-6

3.4 Modelagem das cargas externas ativas e reativas

Neste item explicitam-se os erros que aparecem no equivalente WE (e também WRE) quando consideramos a inclusão, no sistema externo, de cargas não lineares (PQ).

3.4.1 Influência de Barras PV Externas no Fluxo Ativo Entre Barra Fronteira.

Este efeito fica evidente ao analisarmos o sistema sem perdas da Figura 3.4.1-1.

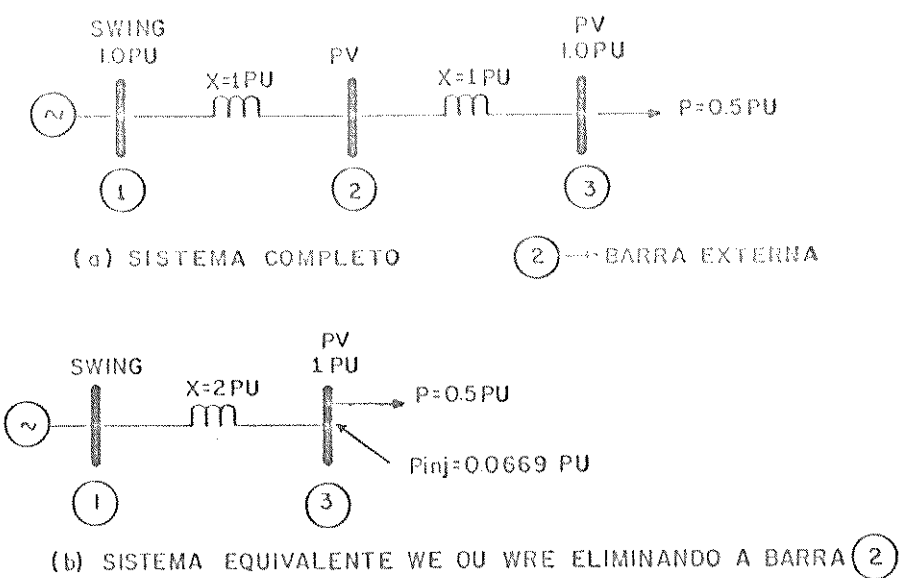


Figura 3.4.1-1

A parte (a) da Figura 3.4.1-1 mostra o sistema completo. Na parte (b) tem-se o sistema equivalente. Notar que a injeção de 0.0669 PU é para ajustar o caso básico. Observa-se que o sistema equivalente perde o efeito de suporte de tensão no fluxo ativo no meio da linha. A tabela seguinte apresenta o resultado de uma análise de contingência. A perturbação considerada foi um acréscimo de 10% na tensão da barra "swing".

VARIÁVEIS		V_1	θ_2	θ_3	
CASO BASE		1,00	-30,0°	-60,0°	
SISTEMA	COMPLETO	1,10	-27,0°	-54,1°	
PERTURBADO	WE OU WRE	1,10	-	-51,9°	

O resultado deste teste mostra que no equivalente WE, a eliminação de uma barra PV externa introduz, além dos erros na resposta reativa (item 3.1), erros também na resposta ativa. O equivalente WRE sofre a mesma deficiência do WE na resposta ativa. Em geral esse tipo de erro é desprezível e só aparece quando o sistema é fraco e o suporte de tensão é essencial.

3.4.2 Influência das Perdas Ativas e Reativas.

Este efeito pode ser visualizado na Figura 3.4.2-1.

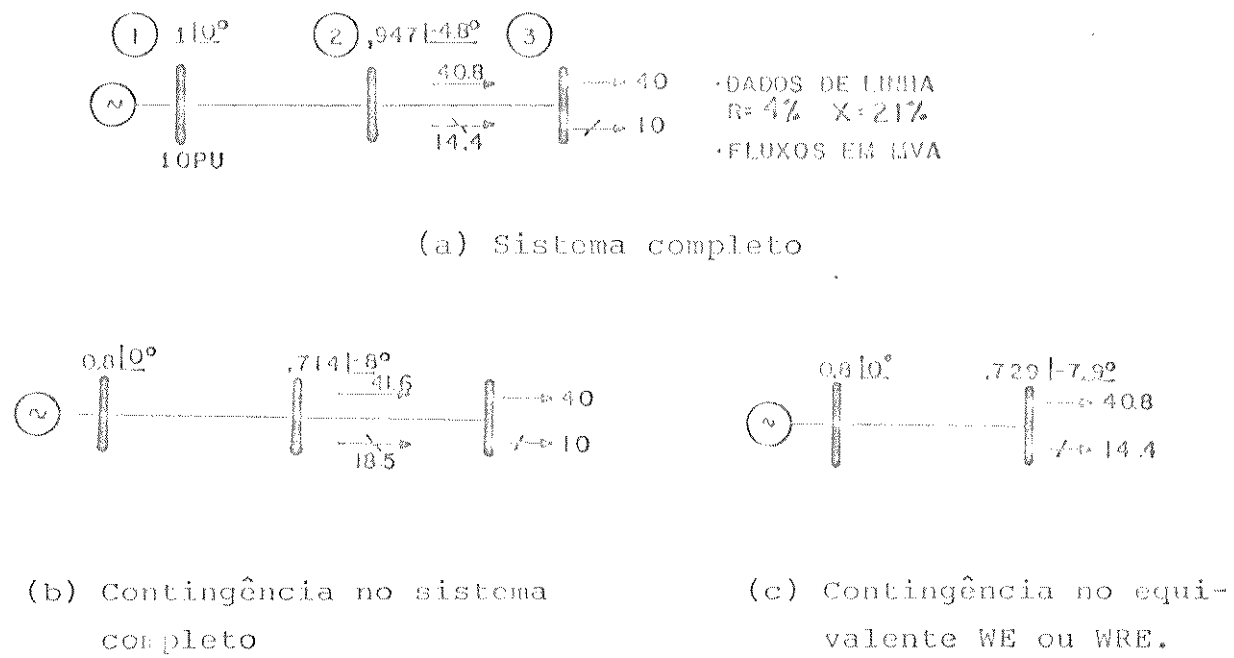


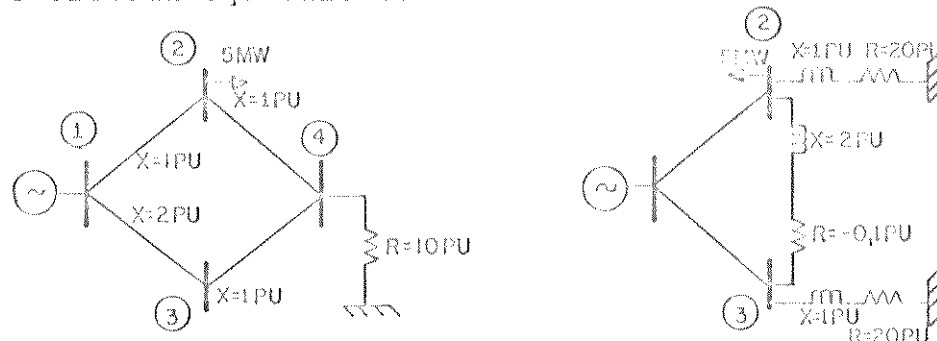
Figura 3.4.2-1

Quando ocorre um distúrbio no sistema interno, no sentido de baixar a tensão, o fluxo ativo e reativo na linha 2 - 3 aumenta (parte b), pois as perdas aumentam. Observar que se o fluxo na linha 2 - 3 for negativo (chegando na barra 2) quando a tensão do sistema interno cair, o fluxo que chega diminui, pois as perdas aumentam. Portanto, a não representação da variação das perdas com a tensão nas barras de fronteira, pode introduzir erros no sentido de baixar ou subir as tensões das barras fronteira, dependendo do sentido dos fluxos de intercâmbio. Esta também é uma fonte de erros secundários de difícil solução em equivalentes, uma vez que o efeito varia com o carregamento do sistema.

3.5 Modelagem das Resistências Externas

3.5.1 Modelagem das Resistências "Shunts"

As resistências "Shunt" aparecem no sistema externo quando se modela a carga ativa com uma parcela de carga tipo impedância constante. Neste item mostra-se que a eliminação de um "shunt" resistivo não introduz erro no equivalente. Considere-se o sistema da Figura 3.5.1 (a). A Figura 3.5.1 (b) mostra o sistema equivalente reduzindo-se a barra 4.



(a) Sistema Completo

(b) Sistema Equivalente

Figura 3.5.1-1

A tabela seguinte mostra o resultado de uma contingência de perda da linha entre as barras 1 e 2.

VARIÁVEIS	v_2	v_3	θ_2	θ_3	P_{G1}	Q_{G1}
CASO BASE	0,983	0,983	-9,5°	-7,6°	-14,6	2,8
CASO COMPLETO	0,889	0,906	-24,4°	-16,6°	12,9	6,6
PERTURBADO EQUIVALENTE	0,889	0,906	-24,4°	-16,6°	12,9	6,6
TE (WRE)						

Os resultados mostram que a eliminação do "shunt" resistivo não introduz erro no equivalente.

3.5.2 Modelagem das Resistências Série

A adição das resistências série na modelagem da rede, introduz um acoplamento entre a parte ativa e reativa do sistema. Nestas condições o equivalente WRE deixa de ser exato (mesmo no caso de um sistema externo apenas com cargas reativas lineares, com barras PV porém com as resistências série consideradas nas impedâncias série das linhas). É interessante, no entanto, observar um caso particular. Considere a Figura 3.5.2-1.

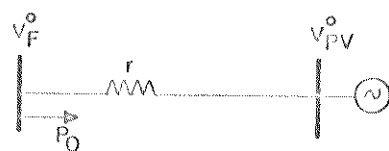


Figura 3.5.2-1

Notar que P_0 é dado por:

$$P_0 = ((V_F^o)^2 - V_F V_{PV}^o) / r \quad (3.20)$$

Esta equação tem a mesma forma da equação (3.1) porém com r no lugar de x e P no lugar de Q . Desta forma, as deduções feitas no item 3.1 para a modelagem da resposta reativa da barra PV externa, podem ser estendidas para a modelagem da resposta ativa da PV externa mostrada na Figura 3.5.2-1. Assim sendo, a transformação "shunt" em PV equivalente apresentada no item 3.3.1 continua válida para o caso do "shunt" resistivo, conforme mostrado na Figura 3.5.2-2.

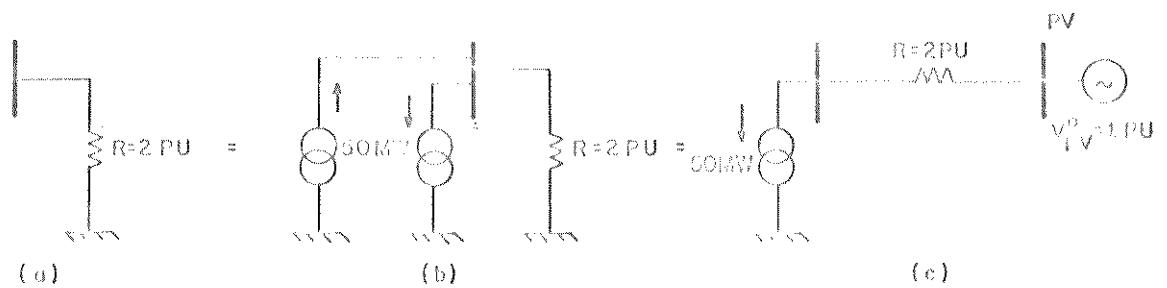


Figura 3.5.2-2

No caso geral, a tensão da barra fronteira é diferente da tensão da barra PV (em módulo e ângulo) e a ligação entre as barras é através de uma impedância com parte real e imaginária. Nestas condições não é possível obter um equivalente (baseado em elementos de circuitos) que represente de forma exata a resposta da barra PV externa.

CAPÍTULO 4

EQUIVALENTE WARD ESTENDIDO EM UMA ETAPA E WARD REATIVO EXATO

Considerando-se as novas propostas de modelagem das barras PV e dos elementos "shunt", pode-se formular dois novos modelos de equivalentes na linha Ward. Estes modelos são o Ward Estendido em Uma Etapa (WEUE) que introduz melhorias computacionais no processo de obtenção do equivalente e o Ward Reativo Exato (WRE) que incorpora melhorias de modelagem na representação do sistema com vistas à redução nodal, mantendo as vantagens computacionais do WEUE. Neste capítulo apresenta-se os algoritmos de formação dos modelos e se discute suas vantagens computacionais e de precisão.

4.1 Equivalente Ward Estendido em Uma Etapa (WEUE)

4.1.1 Algoritmo para Obtenção do WEUE

O processo básico proposto para a obtenção do WEUE em uma só redução é o seguinte:

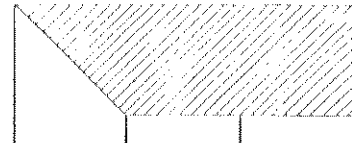
- Formação da matriz admitância nodal do sistema externo incluindo as barras de fronteira. O ponto essencial é a partição, para fins de eliminação ordenada, do sistema externo em dois conjuntos: um das barras PQ externas e outro das barras PV externas. A matriz Y , com as partições consideradas, é mostrada na Fig. 4.1.1-1.

	SISTEMA EXTERNO	FRONTEIRA
PQ	$Y_{PQ,PQ}$	$Y_{PQ,PV}$
PV	$Y_{PV,PQ}$	$Y_{PV,PV}$
	$Y_{F,PQ}$	$Y_{F,PV}$
		$Y_{F,F}$

Matriz Y para obtenção do modelo WEUE

Figura 4.1.1.-1

b) Eliminação gaussiana das barras PQ externas. Após esta operação a matriz Y fica conforme mostrado na Fig. 4.1.1.2.

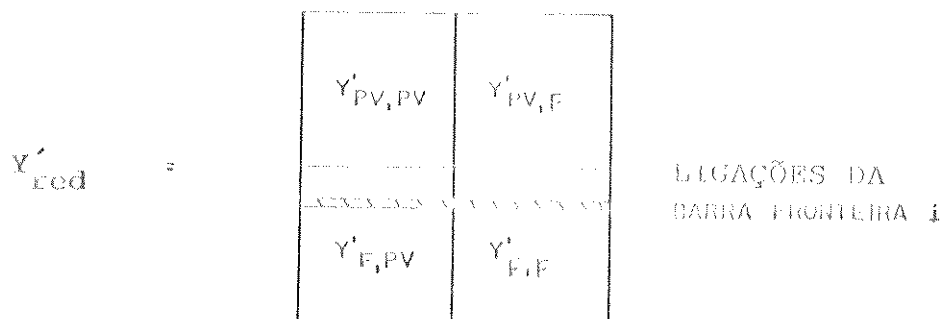
		
Y' =	0	$Y'_{PV,PV}$
		$Y'_{PV,B}$
	$Y'_{B,PV}$	$Y'_{B,B}$

Matriz Y após redução das barras PQ externas

Figura 4.1.1.-2

Pode-se neste ponto obter os "shunts" equivalentes do modelo WEUE, observando que ele é constituído da soma de duas parcelas, a saber:

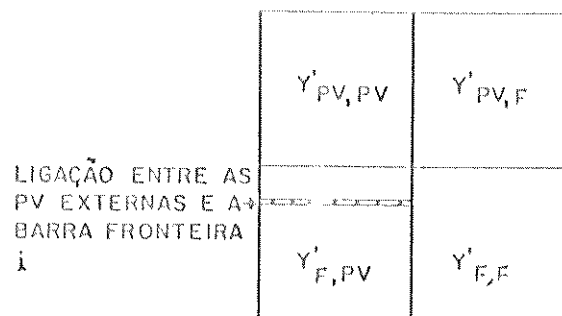
- b1) Parcada dos "shunt" equivalentes devido à reflexão de ligações para "terra" em função da redução das barras PQ. Esta componente pode ser obtida conforme mostrado na Fig. 4.1.1-3.



A soma de todos os elementos da linha i (hachurada) fornece o valor do "shunt" equivalente da barra i , após a eliminação das barras PQ externas.

Fig. 4.1.1-3.

- b2) Parcela dos "shunts" equivalentes devido às barras PV externas. A Fig. 4.1.1.-4 mostra como calcular esta componente.



A soma das susceptâncias da linha hachurada dividida por 2, fornece a componente do "shunt" equivalente devido às barras PV externas

Figura 4.1.1-4

Com relação à obtenção dos "shunt" equivalentes pode-se fazer as seguintes observações:

- i) Computacionalmente as componentes (b1) e (b2) são calculadas simultaneamente;

- ii) Quando não existem "shunts", associadas às barras PQ externas, a componente (b1) é nula. Quando não existem barras PV no sistema externo, a componente (b2) é nula.

iii) Na maioria dos sistemas a componente (b2) é maior que (b1).

iv) Ao se eliminar as barras PQ, uma parcela das ligações "shunt" foi refletida para as barras PV externas. Uma vez que, por definição, a tensão dessas barras não muda, a presença dessas ligações "shunt" não produz nenhuma influência sobre as barras de fronteira. Para evitar que esses "shunts" sejam refletidos na fronteira durante a eliminação das barras PV externas no passo seguinte, é necessário removê-los da submatriz $\mathbf{Y}_{PV, PV}$. Isto pode ser feito substituindo-se os termos da diagonal (PV, PV) pelo negativo da soma dos demais termos da linha correspondente na matriz \mathbf{Y}'_{red} .

c) Eliminação gaussiana das barras PV externas. Com esta operação obtém-se a matriz mostrada na Figura 4.1.1.-5.

As ligações série equivalentes do modelo WEUE podem ser obtidas da matriz $Y_{B,B}''$ na forma usual ($y_{kl}^{eq} = Y_{kl}''$)

Figura 4.1.1-5

- d) Finalmente, da mesma forma que o modelo WE, deve-se calcular as injeções equivalentes na fronteira, de modo a ajustar o sistema reduzido às condições do caso base disponível.

4.1.2 Aspectos Computacionais - Teste Numérico

Pela formulação do WEUE a obtenção da rede equivalente necessita de apenas uma formação e decomposição triangular da matriz de admittância nodal do sistema externo. O modelo WE, como visto no capítulo 2, propõe a formação e redução duas vezes da matriz de admittância nodal do sistema externo, e portanto o custo computacional é maior.

A seguir apresenta-se o resultado de um teste no sistema IEEE118. Para este teste as barras 24, 33, 34 e 38 foram definidas como barras de fronteira e a barra 12 como a barra interna de referência. O sistema externo é formado por 42 barras PQ e 37 barras PV. O teste foi realizado no IBM 4341 da CHESF, em um horário em que o único programa na máquina era este teste, e utilizando uma rotina assembler especialmente elaborada para medição de tempo de execução de trechos de programas. Mostra-se na tabela 4.1.2-1 os resultados obtidos.

	OBTENÇÃO DAS LINHAS EQUIVALENTES	OBTENÇÃO DOS SHUNTS EQUIVALENTES	TEMPO TOTAL (ms)
WE	203,1	203,5	406,6
	REDUÇÃO DAS PQs OBTENÇÃO DOS SHUNTS EQUIVALENTES	REDUÇÃO DAS PVs OBTENÇÃO DAS LINHAS EQUIVALENTES	TEMPO TOTAL (ms)
WEUE	145,7	117,1	262,8

TABELA 4.1.2-1

O tempo total para o WEUE é de 64,6% do tempo total do WE. À primeira vista poderia-se pensar que o WEUE, por só reduzir a matriz Y uma vez (contra 2 reduções do WE) deveria ter um ganho de 50% no tempo total. No entanto, ao particionar o sistema externo em 2 subconjuntos, e usar a ordenação para cada subconjunto individual, tem-se uma perda de eficiência computacional quando comparado à ordenação ótima global. Notar que o sistema em teste é bastante desfavorável neste aspecto, pois o sistema externo é praticamente constituido de 50% de barras PQ e 50% de barras PV. Ao repetir o teste utilizando o subsistema Sul da CHESF (como sistema externo) constituído de 69 barras PQ e apenas 4 barras PV obtém-se um tempo total para o WEUE de 55% do tempo total do WE.

4.1.3 Precisão do WEUE

Em sistemas que não apresentam "shunt" elevados a componente (b1) do equivalente é praticamente nula. Neste caso os parâmetros obtidos com o WEUE ou o WE são praticamente iguais. Em sistemas com "shunt" elevados, o WEUE pode apresentar resultados superiores, conforme mostrado no item 3.2.

4.2 Equivalente Ward Reativo Eléctro (WRE)

4.2.1 Obtenção do WRE

As melhorias propostas pelo WRE podem ser incorporadas diretamente na obtenção do WEUE, levando-se em conta as seguintes observações:

- i) Em lugar da componente (b2) (do item 4.1.1) utilizar as equações (3.16) e (3.17) para obter os "shunts" e as cargas reativas tipo $I = cte$, que representam o efeito das barras PV externas. Caso desejado, pode-se usar a versão com barra PV fictícia, equações (3.16) e (3.18), evitando a representação da injeção de corrente.
- ii) Considerar como linhas equivalentes PQ (para a potência ativa e reativa) as ligações obtidas na fronteira após a eliminação das barras PQ externas. (Fig. 4.1.1-2). Considerar ligações obtidas na fronteira após a redução das barras PV externas, como linhas "só P".

4.2.2 Precisão do Modelo WRE

Conforme mostrado no Capítulo 3 o modelo WRE representa exatamente a resposta reativa do sistema externo se forem desprezadas as cargas não lineares e as resistências série. Na referência [13] mostra-se que em termos de precisão entre todos os modelos testados (equivalentes WARD, REI, fluxos de carga não reduzido e métodos de linearização) o mais preciso é o fluxo de carga não reduzido. Observa-se que o WRE representa praticamente a resposta reativa de um modelo de fluxo de carga não reduzido com injeção nula e resistências série desprezadas. Sabe-se que a precisão é dependente do sistema particular testado, porém pode-se esperar que o WRE será mais preciso que o WE quando ocorrer pelo menos uma das seguintes condições:

- a) "shunts" elevados entre a fronteira e as PV externas;
- b) Barras PV externas com tensões diferentes das barras de fronteira mais próximas.

Exemplos numéricos para esses casos foram mostrados nos exemplos dos ítems 3.1 e 3.2.

4.2.3 Características Computacionais

Uma vez que a inclusão das melhorias que caracterizam o WRE não prejudica a obtenção do equivalente em um passo de redução, e também não altera a ordem de eliminação das barras PQ e PV, as boas características computacionais do WEUE são preservadas.

CAPÍTULO 5

CONSIDERAÇÕES FINAIS

Este capítulo final, apresenta uma síntese dos objetivos e das principais contribuições deste trabalho. As contribuições alcançadas são listadas e comentadas em seus aspectos relevantes. Finalmente são sugeridos desenvolvimentos futuros na área de equivalentes estáticos em SEE.

5.1 Objetivos perseguidos e resultados alcançados

Ao longo deste trabalho o objetivo perseguido pode ser sintetizado nos seguintes pontos:

- i) Realizar uma investigação crítica das características do equivalente WE.
 - Desde a sua elaboração, esse modelo tem sido reconhecido como um método altamente competitivo por agregar boas características de precisão, eficiência computacional, e simplicidade de obtenção. A experiência de utilização deste modelo mostra, no entanto, que em várias situações, ocorrem erros de precisão na reação do modelo. A literatura atual não explica satisfatoriamente a relação causa e efeito destes erros. Investigar, analisar e determinar estas relações causa-efeito é uma das propostas deste trabalho.
- ii) Desenvolver modelos computacionalmente mais eficientes.
 - A eficiência computacional é uma característica fundamental de um método de equivalentes. Nas aplicações em tempo real, onde é requerida a atualização do equivalente do sistema externo para executar a função de análise de segurança, a boa eficiência computacional é essencial. Para aplicações "off-line", embora não

essencial, a eficiência computacional é bastante desejável.

iii) Desenvolver modelos com melhores características de precisão.

- A qualidade do modelo de equivalentes contálicos é avaliada basicamente em função das características de precisão do modelo. É importante observar que o equivalente deve ser preciso mesmo em condições de contingência severas da rede elétrica.

As principais contribuições desenvolvidas ao longo do trabalho, foram:

a) Com relação a uma análise crítica das características do equivalente WE.

- A investigação da modelagem das barras PV permitiu determinar, com clareza, as relações causa-efeito dos erros encontrados no modelo WE. Os fatores responsáveis pelos erros de reação reativa e ativa do modelo WE, oriundos da modelagem das barras PV's externas, foram identificados e avaliados.
- As deficiências na modelagem dos "shunts" externos no modelo WE foram investigadas, analisadas e explicitadas. Os erros de reação ativa e reativa do modelo WE, causados pelos "shunts" externos, foram analisados e as relações causa e efeito destes erros foram determinados.

b) Com relação a modelos computacionalmente mais eficientes.

- Foi desenvolvida uma metodologia que permite obter um modelo, bastante semelhante ao WE (a menos dos "shunts" equivalentes), que necessita apenas de uma formação e redução da matriz Y do sistema externo e fronteira. Este modelo denominado Ward Estendido em Uma Etapa (WEUE) se

mostrou computacionalmente superior ao WE. Em alguns testes (item 4.1.2) o modelo WEUE se mostra praticamente duas vezes mais rápido que o WE. Esta característica, para aplicações em tempo real, é de grande importância.

c) Com relação ao desenvolvimento de modelos com melhores características de precisão.

- Foi desenvolvido um modelo que acrescenta várias melhorias na modelagem das barras PV's e dos "shunts" externos. Este modelo, denominado Ward Reativo Exato (WRE), apresenta, em geral, uma resposta reativa superior ao WE. Foi mostrado que quando o sistema externo não possui cargas não-lineares e nem resistências, o equivalente WRE representa exatamente a reação reativa do sistema externo, mesmo na presença de "shunts" e barra PV, para contingências que solicitem apenas a reação reativa do sistema externo. Embora na prática estas condições no sistema externo não existam, a exatidão da resposta do modelo WRE demonstra que sob o aspecto exclusivamente reativo o modelo é perfeito.

d) Com relação a outros desenvolvimentos.

- Foi desenvolvida uma transformação de "shunt" em barra PV equivalente. Esta transformação permite eliminar, sem erros, os elementos "shunt" do sistema e obter um sistema externo perfeitamente equivalente ao sistema original porém, sem "shunts". Esta transformação é conceitualmente importante pois permite resolver todos os problemas de modelagem de "shunts", em equivalentes tipo Ward, relatados na literatura.
- Foi desenvolvida uma transformação de barra PV em barra PQ com "shunt" e injeção equivalente. Esta transformação mostra que é possível, na prática, substituir uma barra

tipo PV por uma do tipo PQ com um par "shunt" e injecção convenientemente calculado.

5.2 Desenvolvimentos futuros

Este trabalho não esgota o estudo de equivalentes tipo Ward. Acredita-se que muita pesquisa e desenvolvimento pode ser realizado nesta área. Como desenvolvimento futuro decorrente de aspectos aqui explorados sugere-se:

- a) Desenvolver uma metodologia para modelar o efeito da barra PV no fluxo de ativos entre barros fronteiras (ii a 3.4.1).
- b) Analisar as propriedades do modelo WRE, interpretando a metodologia deste modelo como uma redução exata de um sistema não linear de equações. Estas equações são as equações de fluxo de carga (apenas os reativos) do sistema externo na condição particular em que o WRE é exato.
- c) Desenvolver metodologia para modelar as cargas não-lineares do sistema.

REFERÊNCIAS BIBLIOGRÁFICAS

- [01] - J. B. Ward, "Equivalent Circuits for Power Flow Studies", AIEE Transaction Vol. 68, pp. 373-382, 1949.
- [02] - J. B. Ward, H. W. Hite, "Digital Computer Solution of Power-Flow Problems", AIEE Transaction, Vol. 75, pp. 398-404, 1956.
- [03] - B. Stott, O. Alsag, "Fast Decoupled Load-Flow", IEEE Trans. Power App. Syst., Vol. PAS-73, pp. 859-869, Mai/Jun. 1974.
- [04] - R. K. Paulson, "Network Equivalents for On-Line Systems", IEEE PES Summer Meeting, Ann Arbor, Jul. 1974.
- [05] - A. S. Dobs, "Estimation of External Network Equivalents from Internal System Data", IEEE Trans. Power App. Syst., Vol PAS-94, pp. 272-279, Mar/Abr. 1975.
- [06] - A. Monticelli, S. Deckmann, "Equivalentes Externos Linearizados Aplicados à Análise Estática de Contingências em Sistemas Interligados", Relatório nº 1 do Convênio CEPEL/UNICAMP sobre Equivalentes Externos, Mar. 1977.
- [07] - S. Deckmann, A. Garcia, A. Monticelli, "Equivalente de Ward Estendido", Relatório nº 2 do Convênio CEPEL/UNICAMP, sobre Equivalentes Externos, Jul. 1977.
- [08] - A. Garcia, A. Monticelli, S. Deckmann, "Equivalentes Externos em Tempo Real para Análise de Segurança Estática", Relatório nº 3 do Convênio CEPEL/UNICAMP, sobre Equivalentes Externos, Nov. 1977.
- [09] - S. Deckmann, A. Monticelli, A. Pizzolante, C. Murari, "Nodelagem do Sistema Externo para a Obtenção do Equivalente Ward Estendido", Relatório nº 4 do Convênio CEPEL/UNICAMP, sobre Equivalentes Externos, Mar. 1978.

- [10] - A. Monticelli, S. Deckmann, A. Garcia and B. Stott, "Real-Time Extended Equivalents for Static Security Analysis", *IEEE Trans. Power Syst.*, Vol. PAS-98, pp. 493-508, Mar/Abr. 1979.
- [11] - A. Pizzolante, A. Monticelli, S. Deckmann, "Execução de Funções Avançadas do Controle em Tempo Real em Sistemas Parcialmente Observáveis", 5^a Conferência do CNPGE, Recife, Nov. 1979.
- [12] - S. Deckmann, A. Pizzolante, A. Monticelli, B. Stott and O. Alsac, "Studies on Power System Load Flow Equivalencing", *IEEE Trans. Power Appar. Syst.*, vol 99. Nov/Dez. 80, pp 2301-2310.
- [13] - S. Deckmann, A. Pizzolante, A. Monticelli, B. Stott and O. Alsac, "Numerical Testing of Power System Equivalents", *IEEE Trans. Power Appar. Syst.*, vol 99. Nov/Dez. 80, pp 2292-2300, New York, Jan. 1980.
- [14] - F. F. Wu and A. Monticelli, "Critical Review of External Network Modelling for On-Line Security Analysis" - *Electric Power and Energy Systems*, Jun 1983, pp. 222.
- [15] - A. Monticelli, F.F. Wu, "A Unified Approach to on-line Network Modeling for Security Analysis". *IFAC Symposium*, Rio de Janeiro 1985, July pp 215-221.
- [16] - van Amerongen, R. A. M. and van Meeteren, H. P. "A Generalized Ward Equivalent for Security Analysis". *IEEE Trans. Power Appar. & Syst.*, Vol PAS-101 (June 1982) pp 1519-1526.
- [17] - Sigmar M. Deckmann e Carlos A. F. Murari, "Análise de Segurança em Sistemas Elétricos Reduzidos na Presença de TCAT's Externos", 4^o Congresso Brasileiro de Automática da SBA - Campinas - 1982, pp 491-495.
- [18] - Paulo C. C. Tavares e S. M. Deckmann, "Improving the Extended Ward Equivalent for On-line Static Security Analysis", Proc. IFAC Electric Energy Systems Rio de Janeiro, 1985, pp. 223 - 257.

- [19] - P. C. C. Tavares and S. M. Deckmann, "Improving the Ward Equivalent for On-line Static Security Analysis", foi apresentado no "Meeting do SC 39" em Tokyo em out/1987.
- [20] - W. F. Tinney e W. L. Powell, "The RFI Approach to Power Network "equivalents", Paper, IEEE PICA Conf., Toronto, pp - 314 - 320, maio 1987.

APÊNDICE A

Na elaboração deste trabalho foram utilizados vários programas digitais. Neste apêndice é fornecida uma descrição sucinta de cada programa utilizado.

PROGRAMAS DESENVOLVIDOS

a) PROGRAMA PCEQV

Programa em FORTRAN com 1337 linhas. Destina-se ao cálculo do equivalente Ward Estendido e está dimensionado para 300 barras e 500 linhas. Utiliza esparsidade (método da tabela LU) e tem formato de entrada/ saída de dados compatível com o fluxo de carga da PEKO.

b) PROGRAMA PCEQDE

Programa em FORTRAN com 1307 linhas. Destina-se ao cálculo dos equivalentes estáticos e possui várias opções de modelagem de "shunts" e de barras PV. Utiliza esparsidade (tabela LU) e está dimensionado para 300 barras e 500 linhas. A entrada/ saída de dados é compatível com o formato da PEKO de fluxo de carga.

PROGRAMAS MODIFICADOS

a) PROGRAMA PCFLUDE

Programa de fluxo de carga, método ZOLLENKOPF - STOTT escrito em FORTRAN pelo PROFº SIGMAR DECKMANN, com 1090 linhas. A principal modificação consiste na introdução de circuito de Linha tipo "P". Tem formato de entrada de dados compatível com o fluxo de carga da PEKO e capacidade para 650 barras e 600 linhas.

b) ROTINA RDTIME

Rotina em assembler adaptada para ser utilizada com os programas PCEQV e PCEQDE. Destina-se à medição do tempo de CPU entre trechos de programas em FORTRAN.

OUTROS PROGRAMAS

Além dos programas desenvolvidos e modificados foram utilizados os programas ANAREDE desenvolvido pelo CEPEL, e o programa de fluxo de carga do PECO.